

АСТРОНОМСКА ТЕОРИЈА
СЕКУЛАРНИХ ВАРИЈАЦИЈА
КЛИМЕ.

од
М. МИЛАНКОВИЋА.

АСТРОНОМСКА ТЕОРИЈА СЕКУЛАРНИХ
ВАРИЈАЦИЈА КЛИМЕ.

Од М. МИЛАНКОВИЋА.

(Приказано на скупу Академије Природних Наука 26 маја 1930.).

I.

Мисао да свака промена нагиба еклиптике мора утицати и на Земљину климу, веома је стара: то је учио већ *Anаксагора*. Висока Александријска школа није се упуштала у разматрања о променама климе проузрокованим астрономским елементима, иако се баш у њој учило како се из неједнакости годишњих доба могу одредити ексцентрицитет Сунчеве путање и положај апсидне линије, а померање равнодневница био саставни део Александријске науке. Ни проналазак арапског астронома *Албатанија*, да се и линија апсиде помера у току века, није ставио питање промена годишњих доба на дневни ред. Тако је тек *Нютн* својим законом гравитације (1686) расветлио питање промена оних астрономских елемената који утичу на распоред Сунчеве радијације по површини Земље. Поред свега тога, прошао читав је век док су се, благодарећи *Лагранжу* и *Лапласу*, оне промене могле обухватити математским обрасцима. Тада се показало да промене ексцентричитета Земљине путање и нагиба еклиптике осцилују између веома усих граница, а да се велика полуоса Земљине путање секуларно уопште не мења. Ови резултати зауставили су развитак науке о променама Земљине климе астрономским узроцима; *Ц. Хершел*, *А. Хумболт*, *Араго* и *Поссон* нису веровали у могућност таквих промена. Тако је, у колико нам је то познато, *Адемар* биопрви који је покушао да научно образложи везу између варијабилитета астрономских елемената и промена Земљине климе. У његовом делу *Révolutions de la mer, déluges périodiques* (1842)

У ф. 53602.



расправљен је први пут тај велики климатолошки проблем, непотпуно додуше, али интересантно због своје новине. Баш некако у то доба, тражили су геологи тумачење томе на који су начин донешене и расуте по великом делу Европе и Америке гомиле камења, шотера и ератских блокова, за које је њихова северна постојбина била доказана. Неколико разних хипотеза борило се о првенство. По једној од њих, биле су санте леда, по другој, поларне бујице, по трећој, глечери који су извршили онај пренос. Адемар, стојећи још под утицајем Кивијевих идеја, по којима је наш планет био више пута опустошаван серијом катализама и увек поново насељаван творчевом руком, покушао је, пре свега, да хипотезу катастрофалних бујица подупре својом теоријом. Њене основне идеје су ове.

Услед прецесије равнодневница, кретања перихела и промена годишњих доба које из њих резултују, одмењују се, сваких 10000 година, на свакој од обих Земљиних хемисфера, кратке и благе зиме са дугим и строгима и то тако, да када једна од ових хемисфера има строгу зиму, друга од њих има благу. На оној првој, нагомилаће се, услед велике хладноће, лед око пола, и то у толикој мери да ће привлачна снага његове масе проузроковати субмерсију те хемисфере, праћену новим охлађењем. Јужна хемисфера која у садашњости има дужу зиму од северне, налази се сада, са својим великим воденим покривачем, у таквом стању. Лед, нагомilan око пола хладније хемисфере, почеће да се топи и отиче кад наступи периода топлијих зима, носећи са собом камење поларних крајева. Када се, иза тога, трошна ледена санта, налегла на полу као каква печурка, преломи и сурва, појуриће из ње катастрофалне бујице по целој хемисфери. Такве катастрофе понављаће се, одмењујући на обема хемисферама, сваких десет хиљада година.

Каснија геолошка испитивања унела су више светlostи у питање климатских промена на Земљи, и показала су, пре свега, да су, за време извесних временских интервала дилувиума, велики делови Европе и Северне Америке били прекривени ледом, а да се споменуто транспортовање камења вршило ледењацима. Хипотезе о пливајућим леденим сантама и катастрофалним бујицима морадош је бити напуштене. Адемарову теорију није се дала више одржати ни прекројена за феномен ледењака, пошто се увидело да нагомиловање леда за време дилувијалних ледених доба није било такве величине да би могло изазвати суб-

мерсије залеђене хемисфере, као што је то та теорија претпостављала. Поред свега тога, постала је Адемарова теорија полазном тачком других астрономских теорија ледених доба. Осврнимо се овде на најважније од њих, због њиховог историјског значаја.

Теорија Крола (1875), значајна за своје време, полази као и она Адемарова, од неједнакости годишњих доба, но показује, већ у тој тачки, напредак према оној, што је Крол првилије оценио утицај ексцентрицитета Земљине путање на дужину годишњих доба. Само при релативно великом ексцентрицитету може разлика између летње и зимске полугодине постати осетна. Деси ли се, дакле, да се, при довољно великом ексцентрицитету, еквинокцијална линија приближи нормали на апсидној линији, то ће она хемисфера која има зиму када Земља пролази кроз афелијум, имати дугу и строгу зиму. Таква зима проузроковаће, по мишљењу Кроловом, глатацију те хемисфере, док ће она друга хемисфера проживљавати, у то доба, своју топлу интрглатацијалну периоду. Променом дужине перихела према пролетњој тачки, промениће се те прилике. Када се еквинокцијална линија поклопи са апсидном, дакле ће обе хемисфере у исте прилике у погледу распореда Сунчеве топлоте по површини Земље, па се наћи у једнаком прелазном добу из којега ће она пре залеђена хемисфера ући у интрглатацијалну, а она друга у глатацијалну периоду. Тако се одмењују на обема хемисферама глатацијална, прелазна и интрглатацијална доба, и то увек тако да када једна од њих проживљује глатацијално доба, друга пролази кроз топло интрглатацијално доба. Ове појаве појачавају се када ексцентрицитет Земљине путање расте, а слабе када ексцентрицитет опада.

Кроловој теорији чињене су разне замерке; са климатолошке стране, као најтежа, да се ледењаци не стварају строгим зимама, него да, напротив, такве зиме ометају формацију глечера, као што је то и данас случај у пределима оштрих зима, у центрима северних континената, нарочито у Сибирији. Није, дакле, строга зима, него хладно лето које проузрокује формирање глечера и њихово силажење у долине. Са астрономске тачке гледишта највећи је недостатак Кролове теорије да је она од оних трију астрономских елемената који утичу на распоред Сунчеве радијације по површини Земље, а то су: дужина перихела, ексцентрицитет Земљине путање и наклон еклиптике,

узела довљно у обзир само промене оних првих двају елемената. Исти недостатак показује и теорија *Бал*'а (1891) који је надовезао на Кролову теорију и дао јој нов математски облик, но који не представља никакав напредак. Бал је узео, додуше, унеколико, у обзир промене нагиба еклиптике, али је израчунано њихов ефекат само у погледу целокупне инсолације појединачних хемисфера. Те totalne инсолације нису, међутим, од осетног значаја, него се промене нагиба еклиптике испољавају нарочито у меридионалном распореду Сунчеве радијације по површини Земље. Тада ефекат од пресудног значаја није узет у обзир у Баловим испитивањима. То исто важи и за рачуне које је *Келвервел* извршио (1894).

Харгрив је (1896) поклонио више пажње променама нагиба еклиптике, али је израчунано ефекат тих промена у колико се он тиче totalних годишњих количина радијације. Утицај много значајнији, тих промена на појачавање и слабљење опрека у годишњим добима, није му упао у учи. *Екхолм* је (1901) посветио питању, како се оличавају промене нагиба еклиптике у климатској слици Земље, једну нарочиту студију, али је у њој испитивао само последице последњег екстрема тога астрономског елемента; о последицама екстрема осталих двају астрономских елемената, није водио рачуна.

Тако пате све набројане теорије на истом недостатку, да ниједна од њих није правилно узела у обзир промене свих оних трију астрономских елемената који утичу на распоред Сунчеве топлоте по површини земље. Већ категорисање тих теорија, које је извршио *Хан* према оним астрономским елементима који су у појединој теорији узети у обзир, показује јасно њихов недостатак. Не узимајући у обзир последице промена нагиба еклиптике, није ниједна од тих теорија могла доћи у склад са геолошким искуствима. Нарочито кратко-периодично и наизменично одмењивање глатација на обема хемисферама противило се свим резултатима геолошких испитивања. Па и промене у распореду Сунчеве топлоте на површини Земље, које су из тих теорија следовале, биле су толико незнатне да је *Хан* (1908) означио све астрономске теорије ледених доба недовољним, и из њих извукao закључак да се, са астрономске тачке гледишта, може пре очекивати сталност, а не промена, Земљиних климата. Овај суд *Ханов* био је оправдан само у колико се тицаш оних астрономских теорија ледених доба, које су у оно-

доба носиле то име. Шта се може получити математском теоријом климатских промена, сазиданом на темељима Небеске Механике, то ће се видети из ове расправе.

Тако је астрономски проблем ледених доба био постављен на довљно широку основицу тек 1920 године *). Математско оруђе, створено тим делом, за израчунавање секуларних варијација распореда Сунчеве топлоте по површини Земље, усавршено је 1924 год. приликом израчунавања тих варијација за дело *Köppen-Wegener, Die Klimate der geologischen Vorzeit*. Свој дефинитивни облик добила је астрономска теорија климатских промена тек овом расправом, пошто су још нека важна питања, као секуларни ток температуре и механизам феномена: глатацијација, добила своју математску обраду.

II.

Испитајмо сада како се мењају распоред Сунчеве топлоте на површини Земље у току века, т. ј. израчунајмо секуларни ток тога распореда. Математско оруђе за тај посао дато је споменутим делом и расправом «Калоричка годишња доба и њихова примена у палеоклиматском проблему». «Глас» СIX. (1923). Ту је показано, да се све значајније особине секуларног тока могу добити на овај начин. Уочену годину Земљине прошlostи ваља поделити у два једнака дела и то тако, да једна од тих полугодина обухвати све дане у којима је инсолација посматране географске ширине јача него ма којег дана друге полугодине. Те полугодине назвали смо «калоричким полугодинама». Затим ваља израчунати топлотне величине које добија посматрана географска ширина Сунчевим зрацима у току тих полугодина. Те топлотне количине, изражене у каноничким јединицима $I_0 = 1$; $T = 100.000$ дате су за северну хемисферу овим изразима

$$Q_s = W^0_e + \Delta W_e \Delta \varepsilon - m e \sin \Pi$$

$$Q_w = W^0_h + \Delta W_h \Delta \varepsilon + m e \sin \Pi.$$

При томе означавају W^0_e и W^0_h топлотне количине које прима у садашњости уочена географска ширина за време астрономске летње, односно зимске полугодине. Нумеричке вредности

*) Milankovitch, Théorie mathématique des phénomènes thermiques produits par la radiation solaire. Paris 1920.

тих количина саопштене су у таблици V споменутог дела, ваља их само, због избора горе наведених јединица, помножити са 100.000. Изрази ΔW_e и ΔW_h претстављају промене величина W^0_e и W^0_h ако нагиб еклиптике порасте за један степен. Те промене саопштене су у таблици XVII споменутог дела; и те бројеве ваља помножити са 100.000. Δe означава промену нагиба еклиптике према његовој садањој вредности, e означава ексцентрицитет Земљине путање за време уочене године Земљине прошлости, а Π тадању дужину перихела према ондашњој пролетњој еквинокцијалној тачки. Кофицијенат m дат је овим изразом

$$m = \frac{200000 (b_0 - b_1 + b_2 - b_3)}{\pi^2 \sqrt{1 - e^2}},$$

при томе су количине b_0, b_1, b_2, b_3 дате таблици IV споменутог дела.

Садашњости одговарају ове вредности величине Q_e и Q_h :

$$Q^0_e = W^0_e - m e_0 \sin \Pi_0$$

$$Q^0_h = W^0_h + m e_0 \sin \Pi_0.$$

Секуларне промене тих величина дате су изразима

$$\Delta Q_e = \Delta W_e \Delta e - m e \sin \Pi + m e_0 \sin \Pi_0$$

$$\Delta Q_h = \Delta W_h \Delta e + m e \sin \Pi - m e_0 \sin \Pi_0$$

$$\Delta e = e - e_0.$$

Уведемо ли ознаку

$$e \sin \Pi - e_0 \sin \Pi_0 = \Delta(e \sin \Pi),$$

то добивамо

$$\Delta Q_e = \Delta W_e \Delta e - m \Delta(e \sin \Pi),$$

$$\Delta Q_h = \Delta W_h \Delta e + m \Delta(e \sin \Pi).$$

Ове једначине важе за северну хемисферу, за јужну важе ове:

$$\Delta Q_e = \Delta W_e \Delta e + m \Delta(e \sin \Pi),$$

$$\Delta Q_h = \Delta W_h \Delta e - m \Delta(e \sin \Pi).$$

Помоћу предњих образаца могу се израчунати секуларне варијације топлотних количина Q_e и Q_h и, на тај начин, добити јасна слика о секуларном току распореда Сунчеве топлоте по површини Земље. Први такав рачун, и то за минулих 650

хиљада година и за географске ширине $+ 55^\circ, + 60^\circ, + 65^\circ$, извршио сам 1923 год. за споменuto дело Кепена и Вегенера, па добивене нумеричке резултате претставио и графичким диграмом, објављеним у том делу. При његовом израчунавању употребио сам за нумеричке вредности величина Δe и $\Delta(e \sin \Pi)$ бројеве које је Пилгрим израчунао помоћу Стоквелових образаца као секуларне варијације астрономских елемената e, e, Π . Такве рачуне ја сам за ову расправу поново извршио и раширио их на географске ширине $\pm 25^\circ, \pm 35^\circ, \pm 45^\circ, \pm 55^\circ, \pm 65^\circ, \pm 75^\circ$. Том приликом употребио сам за нумеричке вредности секуларних варијација астрономских елемената e, e, Π бројеве које је проф. В. Мишковић израчунао помоћу Леверијеових образаца, а узевши у обзир најтачније вредности планетских маса, којим сада располажемо. У својој расправи, која ће изаћи у овом «Гласу», Мишковић је навео разлоге који су говорили за употребу Леверијеових образаца. Тако сам, благодарећи драгоцену помоћи проф. Мишковића, могао да израчунам секуларне варијације топлотних количина Q_e и Q_h најтачније према данашњем стању науке. Те варијације саопштене су на крају ове расправе у засебној табели; она претставља историју распореда Сунчеве топлоте по површини Земље, исписану математским језиком.

III.

Ако се запитамо на који се начин испољио у прошлости секуларни ток Земљине инсолације, то можемо на два разна пута да потражимо одговор на постављено питање. Први од њих води преко области егзактних наука. Користећи се математском теоријом коју сам у споменутом мом делу изложио, могуће је из секуларног тока инсолације извести секуларни ток температуре, проузрокован променом астрономских елемената. Други пут води преко области дескриптивних природних наука. Промене Земљине климе оставили су дубок траг у лицу Земљином, и о њима говоре речито документи прошлости, пронађени и сакупљени од геолога. Тако је Геологији пошло за руком да одреди узастопност Земљиних климата и у оном делу Земљине прошлости на који се односе моји рачуни. Ако се она: геолошким путем нађена узастопност Земљиних климата подудари са климатским таласима нађеним помоћу Небеске Меха-

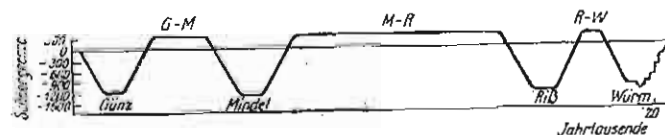
нике рачунским путем, онда је не само пронађен главни узрок промена Земљиних климата, него је тим добијен и календар Земљине прошлости.

Први који је применио моје рачунске резултате о секуларном току Земљине инсолације за испитивања климе прошлости био је Владимир Кепен. Упознавши се са мојом математском теоријом климе, увидео је он услугу коју би она могла да учини при испитивању Земљине прошлости, па ме позвао на сарадњу у том послу. У тој заједници, ја сам усавршио свој математски апарат и подесио га за предузети посао. Резултати Кепенових испитивања и мојих рачуна саопштени су у делу Körpen-Wegener, Die Klimate der geologischen Vorzeit. Berlin 1924. Брзо иза тога почели су и други научници да, полазећи од мојих рачуна, испитују климу Земљине прошлости и објављују своје резултате у делима или расправама. О том раду немачких научника саопштавам, одазивајући се жељи Српске Краљевске Академије, ово.

Кепен, саопштавајући резултате својих испитивања, почиње са прегледом ових чињеница. Пошто су Европа и Северна Америка, после глатација алгонкума и камбриума, проживеле огромно дуга доба тропске и субтропске климе, отпочело је за њих, крајем терцијера, ново ледено доба, прво у Америци а затим у Европи, достигнувши свој врхунац у квартеру. У појединим интервалима тога доба спустила се, у брдским крајевима, граница вечног снега за каквих 1200 м, а пространи делови обају континената били су затрпани ледом, дебелим километар и више. За време интерглацијалних периода, који су одмењивали интервале ледених доба, лед се делимично или потпуно отопио, а у те крајеве усељавала се флора, слична данашњој.

А. Пенк и Е. Брикнер испитали су врло исцрпно трагове тих квартерних глатација у Алпама и саопштили резултате својих испитивања у њиховом делу Die Alpen im Eiszeitalter. Leipzig 1901—1909. По тим испитивањима, преживели су алпски предели четири велика ледена доба, одељена једно другог трима интерглацијалним периодима. Та ледена доба назвали су они, полазећи из прошлости у садашњост, Гинц, Миндел, Рис и Вирм. У последњем од ових ледених доба, могло се констатовати више осцилација. Од интерглацијалних периода био најдужи онај који је лежао између Миндела и Риса.

О апсолутној дужини поједињих ледених доба и интерглацијалних периода, постала су пре публикације Кепен-Вегенеровог дела само приближна нагађања. Тако је Кенигсбергер нашао одређивањем количине хелиума у циркону да је квартерно доба почело пре $\frac{1}{2}$ до 1 милиона година. У последњој свесци споменутог дела Пенк-Брикнеровог саопштавају оба научника резултате својих испитивања о временским дужинама поједињих периода леденога доба у облику графикона представљеног у следећој слици 1. При том, цени Пенк да је од депоновања морена, названих «бил», у фирвалдстетском језеру проteklo 20000 година, па, узимајући тај временски интервал за јединицу, налази да је интерглацијални период између Риса и Вирма трајао 60000 година, а онај између Миндела и Риса 240000 година. О самим дужинама глатацијалних периода не саоп-



Сл. 1.

штава Пенк никакве податке, али се из његовог графикона може време протекло од почетка Гинца оценити са 660000 година.

Ова подела ледених доба примењена је и на друге крајеве Европе где су ова доба оставила јасног трага, али су испитивања Гагела (1915), Сергеја (1919), Кренкела (1922) и других, још пре публикације Кепен-Вегенеровог дела, показала да се последње ледено доба, Вирм, може расчланити у три засебна напада хладноће и пораста ледењака. Те три ледене фазе означавају се са Вирм I, Вирм II и Вирм III, последња се, сем тога, често назива и балтичким нападом или балтичким леденим добом. И у Енглеској се до сада нашло на трагове шест разних ледених доба која би одговарала Гинцу, Минделу, Рису, Вирму I, Вирму II и Вирму III.

У Скандинавији, средишту европских глатација, су гравије поједињих фаза леденога доба много нејасније, ипак је сигурно да је и онде целокупно квартерно ледено доба било прекинуто бар једним топлијим интерглацијалним периодом. И на полуоструву Коли и на обалама Белог Мора, констатована је

иста чињеница. Вероватно да се у свим тима крајевима ради о великим интерглацијалном периоду између Миндела и Риса.

Предели Европе који нису лежали под леденим покрићем, носе на себи јасне трагове који говоре да се и онде клима за време квартера осетно мењала, а да је број климатских промена био знатно већи него број горе наведених ледених доба, која су се могла појавити само онда када су климатске промене прекорачиле извесне границе.

Тражећи узроке ових климатских промена, потребно је решити два претходна питања и то: 1) који метеоролошки елеменат и 2) које годишње доба долази у питање при формацији ледењака. Два су главна узрока која изазивају пораст ледењака: велики снежни талози и ниска температура; особито она летња. Пре се обично мислило да је од тих двају узрока први важнији и пресудан, но сада се мисли друкчије. За време ледених доба, морале су у Европи и Америци владати сличне климатске прилике какве данас владају на Гренланду и на антарктичком континенту: ниска температура која не допушта да се атмосферски талози који се таложе у чврстом стању отопе, него се ови гомилају и стварају реке леда. Тако је Пенк своја и Брикнерова искуства у том погледу саопштио овако: Како, за време ледених доба, снежне пољане нису биле дебље него сада што су, то се стварање глечера за време ледених доба не може објаснити појачаним талозима, него се та појава мора протумачити слабијом аблацијом ледењака проузрокованом низом лётњом температуром. То исто вели и Брикнер, да узрок депресије границе вечног снега не треба тражити у већој количини атмосферских талога него у мањој суми температуре изнад 0° које служе за отапање леда.

Такве прилике владају, као што је већ речено, сада на антарктичком континенту и на Гренланду. На антарктичком континенту, где су атмосферски талози веома малени, јер онде не дозвољава поларни антициклон приступ влажних струја, а на Гренланду, где постоји северна граница леда, на којој су атмосферски талози тако незнатни да их кратко поларно лето може да отопи. Ту, дакле, не лежи оптимум за стварање ледених поља на самом полу него на географској ширини од каквих 75° .

Горњим констатацијама решено је и оно друго од постављених питања у том смислу да је главни фактор стварања гла-

цијација мањи збир температура које леже изнад 0° . У садањујој клими западне Европе, донашају додуше само године са јаким зимама велике количине снега, али ствар стоји друкчије када температура ваздуха лежи већим делом године испод 0° и када је киша изузетна појава, тада баш топлије зиме, обилније циклонима, донашају веће количине снега. Не изазива, дакле, хладноћа најхладнијег месеца или године глацијацију, него недостатак летње топлоте. Да хладноћа сама по себи није дољна да проузрокује глацијацију, показују најочигледније климатске прилике у Сибирији, где се појављују најниже температуре, али где нема ни трага од ледењака, поред свега тога што њен појас који лежи на истим географским ширинама са Гренландом има средњу годишњу температуру која је за пуних 9° ниже него она на Гренланду. Али је зато сибирско лето за 11° топлије него гренландско. Јасно је, дакле, да о глацијацији одлучује температура лета. Зато морамо, тражећи периоде ледених доба у прошlostи, обратити пажњу на она доба која су се одликова хладним летима.

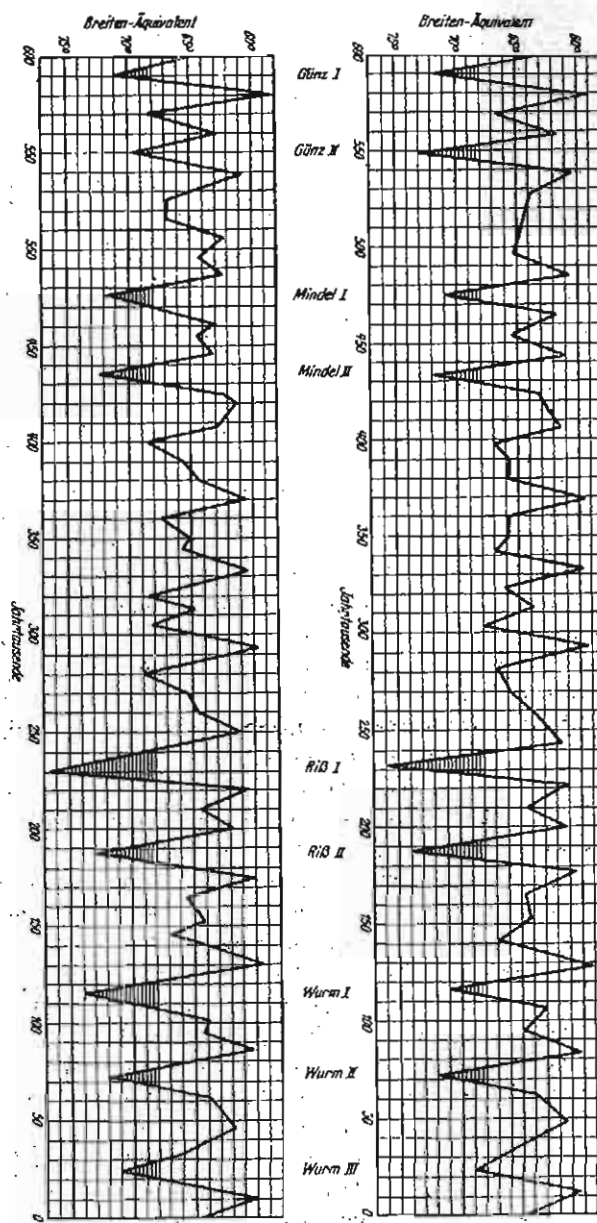
Овим расуђивањима Кепеновим био је и астрономски део проблема ледених доба јасно постављен и мој је задатак био да га мојим рачунима решим. Већи део потребног алата за тај посао био је приправљен мојим споменутим делом, а што је још недостојало, то ја сам израдио у мојој расправи: Калорична годишња доба и њихова примена у палеоклиматском проблему (овај Глас књ. CIX 1923). Ваљало је, као што из горњег следије, испитати што тачније секуларне промене оних топлотних количина што их поједине географске ширине примају за време летње полугодине. Како се дужина годишњих доба, дакле и астрономске летње полугодине мења без престанка секуларно, то је за решење постављеног проблема уведен појам калоричних полугодина, т. ј. оних полугодина које деле тропску годину у две потпuno једнаке половине и од којих летња обухвата све оне даље у којима је инсолација уочење географске ширине интензивнија него ма кога дана друге полугодине. Када је рачунским путем одређен био почетак и свршетак тих полугодина, израчунате су оне топлотне количине што их уочена географска ширина прима у току века за време летње полугодине. Те количине достизавају своје екстремне вредности онда када дужина периода буде једнака 90° , односно 270° . Да би се добивени рачунски резултати представили што очигледније, изражене су се-

куларне варијације топлотних количина помоћу фиктивних промена географске ширине т. ј. одређена је увек она географска ширина која у садашњости прима за време летње полугодине исту количину сунчеве топлоте коју је примала одабрана географска ширина уочене полугодине геолошке прошлости. Добивени рачунски резултати претстављени су графички на тај начин да је геолошко време узето за абсцису, а за ординату фиктивна варијација географске ширине. Моји рачуни обухватили су период од минулих 650000 година, а односили су се на северне географске ширине од 55° , 60° и 65° .

Мој диаграм објављен је у Кепен-Вегенеровом делу, а одавде је прешао и у друге публикације о којима ће одмах бити говора. Тадијаграм објављујем поново овде на стр. 39, горња слика, при чему сам се ограничио на географску ширину од 65° и на интервал времена од минулих 600000 година.

Изко сам данас у могућности да споменути дијаграм заменим тачнијим и детаљнијим, добивеним помоћу рачунских резултата, саопштеним у табели на крају ове расправе, то су, сеј историјског интереса, говорили и други разлози за поновну публикацију тог дијаграма. При конструкцији тога старог дијаграма, употребљени су за секуларне варијације астрономских елемената бројеви које је израчунао Пилгрим служеће се Стоквеловим обрасцима. При израчунавању табеле 1 на крају ове расправе, употребљени су за варијацију астрономских елемената бројеви које је израчунао Мишковић, служећи се Левериовим обрасцима. Зато ће упоређење старог и новог дијаграма помогућити контролу старих и нових рачуна. Да би се то упоређење могло што очигледније извршити, извађене су из табеле 1 максима и минима секуларног тока инсолације географске ширине од 65° , па су амплитуде тога тока претстављене графично помоћу промена географске ширине у истом мерилу којим је нацртан стари дијаграм. На тај начин добивени нови дијаграм нацртан је на истој слици испод старог.

Оба дијаграма, стари и нови, имају исти изглед и показују исти ритам тока инсолације; исти број екстрема у скоро истим међусобним отстојањима. Њихова разлика показује се само у детаљима и то, овим. Времена максима и минима инсолације разликују се у оба дијаграма, додуше, незнатно, т. ј. углови преломљених линија не леже у оба дијаграма тачно једни испод других. То њихово, отступање потиче већим делом од



Сл. 2.

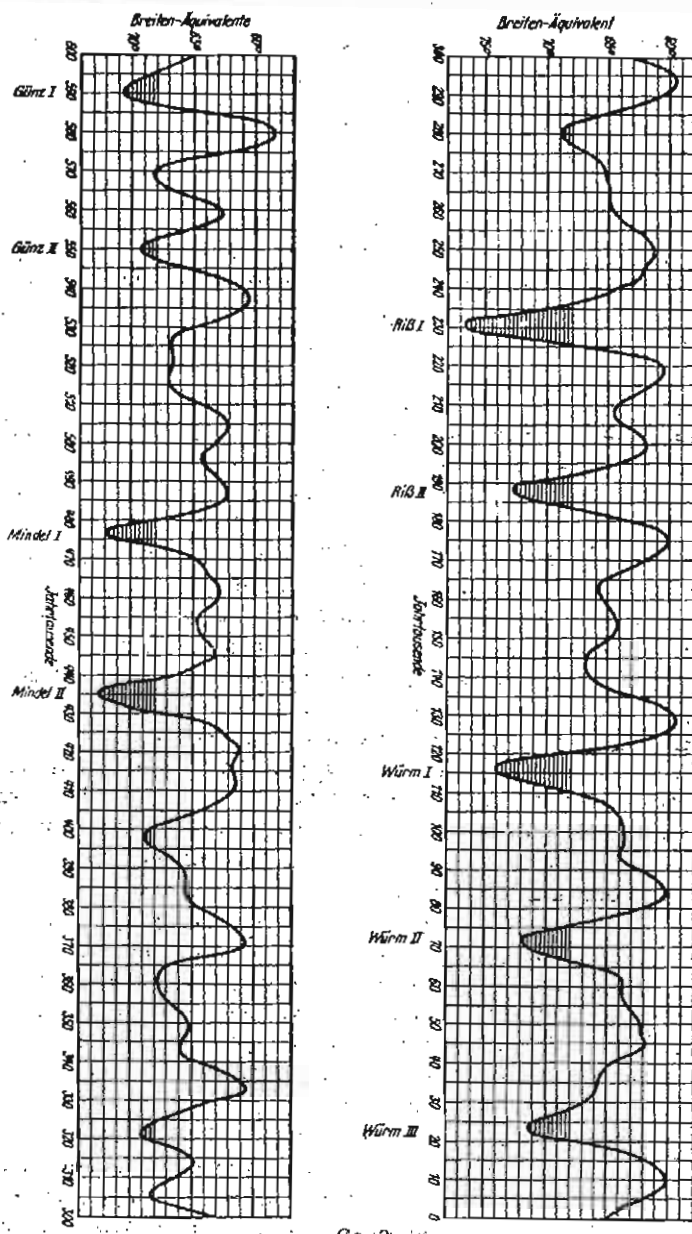
тога што су при конструкцији старог диаграма времена максима и минима израчуната приближним начином т. ј. да су времена идентификована са онима за која је $\Pi = 90^\circ$ односно $\Pi = 270^\circ$. То није сасвим тачно, јер променљивост елемената e и в.помера времена екстрема мало даље, но толико незнатно да је то без утицаја за геолошке конзеквенције. Друга разлика тиче се бројних вредности амплитуда секуларног тока инсолације. Та је разлика нешто већа од оне прве, а има свој узрок у овоме: Рачуни Леверијеви и Стоквелови полазе од разних нумеричких вредности планетских маса. Тако је, примера ради, Леверије за однос Земљиње (и Месечеве) масе према Сунчевој ставио 1 : 354.936, а Стоквел 1 : 368.689. По Баушингеровој критичној анализи нису ни Леверијеве, ни Стоквелове планетске масе довољно тачне, па би, да останемо при горњем примеру, саопштене бројеве ваљало заменити са 1 : 329.350. Мишковић је при својим израчунавањима секуларних варијација астрономских елемената, заиста, и извршио коректтуру Леверијевих маса по Баушингеровим податцима, док је Пилгрим извршио коректтуру само на маси Земље и то непотпуну, служећи се бројем 1 : 335.172, а вршивши ту коректтуру само при израчунавању ексцентрицитета Земљине путање и дужине њеног перихела према пролетној тачки године 1850. Остале вредности Стоквеллових плањетских маса и његове обрасце за нагиб еклиптике и за прецесију није Пилгрим исправљао. Сем тога, пате Пилгримови рачуни од нетачних интерполација и других грешака које су ћелигидле баш онај важни минимум код 22,3 хиљаде година пре 1850. Све ове околности тумаче потпуно све разлике између оба диаграма, па из њиховог упоређења следи да су оба диаграма довољно тачна за геолошка испитивања, али да новији диаграм, при којем су употребљени Мишковићеви рачуни, даје већи степен апроксимације, а само о таквом степену апроксимације може бити говора при рачуну пертурбација. Систематске грешке у Пилгримовим рачунима, о којима је мало час било говора, још су увек толико незнатне да се могу испољити тек при абсцисама диаграма које одговарају давним геолошким временима. Тим се могу и растумачити знатније разлике између оба диаграма које се указују у интервалу времена које је протекло пре 500 до 600 хиљада година. Поред свега тога, показао је већ први диаграм све карактеристичне особине секуларног тока Земљине инсолације у толикој мери да су се

из њега могле извукти конзеквенције пресудног значаја. Ми ћемо се у следећем служити у главном новим диаграмом, а стари употребити у колико то буде реферисање захтевало.

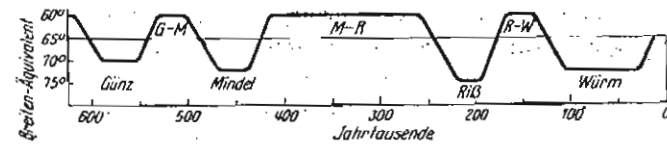
Употребе ли се сви бројеви табеле 1 који се тичу 65° географске ширине за графичну претставу, то се међто изломљене линије добива таласаста, која са више детаља претставља секуларни ток инсолације уочене географске ширине. Та линија претстављена је на слици 3 у већем мерилу.

Кепен је, из диаграма који сам израдио, извукao ове важне езакључке. Означели се у том диаграму они делови где линија инсолације прелази преко 68° географске ширине, то се добивају четири паре временских интервала која су се одликовају врло хладним летима. Временско одстојање између тих интервала одговара оним временима која су Пенк и Брикнер саопштили за интерглацијалне периоде између Вирма, Риса Миндела и Гинца. Вероватноћа да нам они парови интервала хладних лета означени на диаграму претстављају, заиста, набројана ледена доба, појачана је нарочито великим размаком између другог и трећег паре који потпуно одговара великим интерглацијалном добу између Миндела и Риса. Кепен поставља због тога питање, да ли један такав пар интервала хладних лета, пресечен у пола интервалом топлијих лета, може остати за собом траг једног јединственог леденог доба.

Ми ћемо ово специјално питање подробно испитати тек у наредном одељку ове расправе и том приликом упознати и Кепенове аргументе, који је, далековидно, одговорио на постављено питање афирмативно. У наредном одељку биће доказано ово. Као што сам већ споменуо, могуће је помоћу моје математске теорије израчунати из секуларног тока инсолације и секуларни ток лећне температуре. Када се ти рачуни изврше долази се до ових резултата. Догод се на уоченом делу Земљине површине не створи снежни покривач, т. ј. догоđе не дође до глацијација, постоји између секуларног тока инсолације и секуларног тока температуре потпун пропорционалитет, тако да се из инсолационе криве добива једноставним начином температурна; обе криве имају, у том случају, исти облик. За време ледених доба, та пропорционалност више не постоји. За таква времена ваља уочене пределе Земљине површине поделити у ове категорије: у залеђене пределе, у пределе који леже изван залеђених крајева и у пределе који леже између



оних двају и у које утичу крајеви глочера са њиховим крајњим моренама. У незалеђеним пределима остаје све онако: како је било: ту секуларна крива температуре има исти облик као и секуларна крива инсолације. У осталим двема категоријама предела појављују се разлике између температурне и инсолационе криве: минима температурне криве постају јаче акцентирана но минима инсолационе криве, у залеђеним крајевима у толикој мери да се два узастопна минима, ако су довољно близу и ако су довољно оштра, могу стопити у један једини интервал хладноће. Зато је, заиста, могуће да се, као што је Кепен очекивао, близки минимуми инсолације стопе двоје по двоје у једно ледено доба у оним пределима који леже близу центара глацијације, као што је случај за алпске крајеве, на које се односе Пенкови и Брикнерови закључци. За те крајеве можемо, dakле, суседна минима спојити увек у јединствена ледена доба. Учинимо ли то, служећи се новим дијаграмом сл. 3, то се добива следећа слика 4.



Sl. 4.

Упоредили се ова слика са оном што ју је добио Пенк и која је репродукована на страни 35 то, већ на први поглед, упада у очи идентичан облик ових дијаграма. То подударање које се појавило и при употреби старог дијаграма, определило је Кепена да се најодлучније изјасни да су у дијаграму који сам израчунao оличене све четири главне фазе квартерног леденог доба. Заиста, јасно је да не може бити пук случај да две такве различне методе, као што је Пенк-Брикнерова емпиријска метода и моја рачунска, дадну тако подударне резултате. Немогуће је не дивити се Пенку и Брикнеру како су успели да дужине последњих двају доба која леже између Риса и Вирма, односно после Вирма, одреде скоро апсолутно тачно, а и у дужини великог интерглацијалног доба између Миндела и Риса учине само-цеznатну грешку.

Када је Кепен дошао до горњег резултата, добијено је при-

испитивању климата квартерног доба чврсто тле под ногама, а математска теорија климата призната је и употребљена као ново поуздано оруђе у том послу. Шта је све, за ово кратко време од публикације Кепен-Вегенеровог дела, постигнуто њеном употребом, о том ћемо укратко да известимо.

Већ је Кепен пошло за руком да поделу последњег леденог доба у три засебне фазе, како ју показује мој дијаграм, докаже и на темељу резултата геолошких испитивања. О том вала ово напоменути. У мом првом дијаграму виде се, додуше, јасно све те три фазе последњег леденог доба, али је онде последња фаза осетно слабија него прве две. По новом дијаграму, та је фаза постала јача.

И последњи максимум летње топлоте могао је Кепен да идентификује са геолошки утврђеним климатским оптимумом, за време којег су храст и лешник прекорачили у свом распостирању своје садање границе и према северу и у висину.

Подударање између података мојих дијаграма и резултата геолошких испитивања још је много веће но што га је Кепен нашао, када се узму у обзир гранични предели европских глацијација. Овде је, као што смо већ споменули, температурна крива имала "исти" облик као и инсолациона, само са том разликом да су у температурној криви миними били појачани. Иста та појава наступа када се инсолациона крива конструише тако, да њене осцилације показују фiktивне промене географске ширине, као што је то учињено у споменутим дијаграмима. И у том случају се минимуми испољавају јаче, јер у поларним крајевима, приједнакој промени инсолације, одговара вишам ширинама већа промена фiktивне географске ширине. Зато показују они дијаграми веома тачно секуларни тск температуре граничних крајева, т. ј. оних између залеђених и незалеђених предела, па су зато веома подесни за испитивање климатских промена тих предела.

Први који је такво испитивање, и то у врло великому обimu, извео, био је В. Сергал. Он је том питању посветио једну нарочиту монографију: Soergel, Die Gliederung und absolute Zeitrechnung des Eiszeitalters. Berlin 1925. Увидевши да ће се све фазе леденог доба најјасније испољити на оквиру залеђених предела, он је, већ пре публикације своје споменуте монографије и пре публикације Кепен-Вегенеровог дела, предузео да испита и класификује све фазе леденог доба у граничним пре-

делима глацијација у Немачкој. У тим крајевима сведоче многи геолошки документи о климатским променама прошлих доба. Његова испитивања, која су извршена била пре но што је он и видео мој дијаграм, дала су неочекивани резултат да се све климатске промене које је он констатовао из геолошких документа налазе у истом реду и у истој јачини оличене у мојем дијаграму. Свих девет температурних минимума који се налазе уцртани у дијаграму, оставили су свој јасни траг на лицу Земљином, и Сергал је успело да их идентификује са дилувијалним терасама Илма и Сале, па и на Вери и Везери.

Испитивањима Сергаловим доказано је да су сва четири ледена доба Пенка и Брикнера била сложена из више фаза. Прва три од тих доба имала су по две фазе, а четврто три, као што то показује и захтева мој дијаграм. Но Сергал је нашао да су не само главних девет минимума температуре, које налазимо на дијаграму, оставили јасног трага на лицу Земљином, него су и споредна минима толико утицала на климу прошлости да су нека од њих оставили такође свој траг у крајевима где је Сергал вршио своја испитивања. Ту је он нашао још две терасе које је идентификовao са минимумима 305 и 140 мог дијаграма и назвао те фазе Пре-Рис и Пре-Вирм. То идентификовање споредних минимума температурне криве са геолошки утврђеним траговима климатских промена скопчано је са извесним несигурностима, јер мој дијаграм показује више таквих споредних минимума скоро истог интензитета. Зато није ни чудо, да су у погледу тих споредних минимума други научници другог мишљења но Сергал. Тако је Граман у својој расправи, Graumann, Ueber die Ausdehnung der Vereisungen Norddeutschlands und ihre Einordnung in die Strahlungskurve. Berichte der math.-phys. Klasse der sächsischen Akademie der Wissenschaften zu Leipzig. Bd. LXXX. (1928) провео другу идентификацију споменутих тераса са појединим фазама мог дијаграма. Мој нови дијаграм, израђен са више детаља, и новија геолошка испитивања решиће, вероватно, и то детаљно питање.

Граман је у својој расправи испитао и решио још једно важно питање. Де Гер и његови ученици изобразили су један нов метод за одређивање старости геолошких слојева и климатских промена који је сасвим различит од астрономског начина, а који се може применити само на доба иза последње глацијације. Као што се у пресеку дрвенога стабла могу избројати

Његови годишњи прстени и тим одредити његова старост, тако је у извесним наносима Скандинавије и Северне Америке свака година оставила свој траг. Те трагове назвали су Де Гер и његови ученици варвама и показали како се из ритма њихових узастопних дебљина могу идентификовати и повезати такви слојеви који не леже на истом месту. Бројање тих слојева омогућава одредбу њихове старости. Прве такве одредбе старости слојева и климатских осцилација нису се подудариле са последњим таласом моје температурне криве него су за последњално доба дала краће време но што га даје мој диаграм. Доцнија израчунавања Де Герове школе дала су међутим друге резултате који су се толико приближили податцима мојег дијаграма, да је Граман могао да констатује да је веза између оба разна метода геолошке хронологије добивена. После публикације мого новог дијаграма то подударање биће још очигледније, јер тај нови дијаграм показује интензивнију балтичку фазу, а сасвим тога, ваља узети у обзир ово. У овој расправи биће доказано да, као што се између дневног, односно годишњег тока инсолације и одговарајућег тока температуре појављује померање фазе, јер максимум дневног тока температуре не пада у подне, нити се максимум годишњег тока температуре поклапа са данима сунчевог солстиција, тако се исто између секуларног тока инсолације и секуларног тока температуре мора указати фазна разлика. Услед тога ће се екстреми температурног тока и климатских промена померити у скали дијаграма нешто према садашњости, тако да се и у последњем таласу температурне криве показује потпуно подударање са резултатима геолошког испитивања.

Велики интерес који су немачки научници показали за моју астрономску теорију климатских промена и успеси које су они у њеној примени постигли документује се нарочито и у једном делу које је недавно публиковано. То је: Eberl, Die Eiszeitenfolge im nördlichen Alpenvorlande. Augsburg 1930. Историјат тог великог дела толико је везан са мојом теоријом да је потребно да и о њему нешто споменем.

Област у којој је Еберл вршио своја испитивања је предео северно од Алпа између Леха и Илере. Тада предео назвао је Пенк Лех-Илерском плочом и у њему је и он сам вршио своја класична испитивања. У том крају очувале су се све фазе квартерног леденог доба у свима својим појединостима боље него

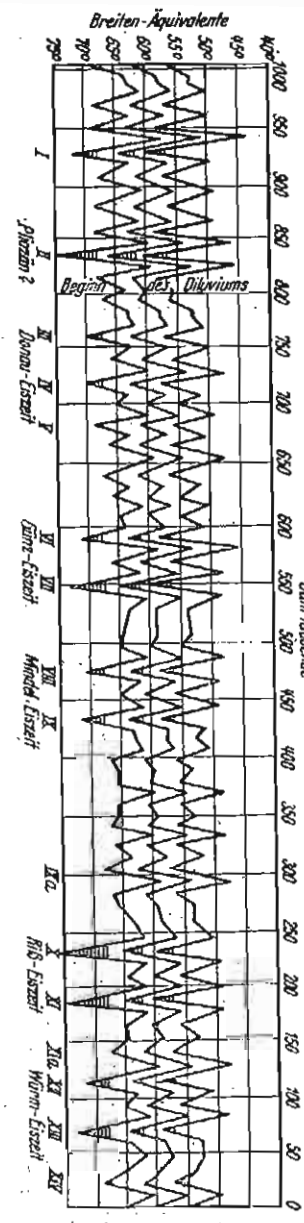
нигде на другом месту. Када је Еберл после дугогодишњег испитивања открио, описао и графички претставио сва узастопна сведочанства о леденим добима која су се на том месту одиграла, нашао је, пре свега, ово. Пенкова ледена доба Гинц, Миндел и Рис имала су свако по две фазе, а последње доба, Вирм, имало их је три. Интерглацијално доба између Миндела и Риса било је куд и камо дуже од свих осталих интрглацијалних доба. На темељу геолошког материјала, пошло је Еберлу за руком да квантитативно одреди интензитет поједињих фаза тих ледених доба, па је нашао да је у Рису била прва фаза, а у Вирму друга које су биле јаче од осталих. Све те резултате својих испитивања саопштио је Еберл у једном свом предавању које је одржao 29. јануара 1924 у геолошком удружењу у Минхену, дакле пре публикације мого дијаграма у Кепен-Вегенеровом делу.

Годину дана пре тога, 12. јануара 1923, имао је Кепен у рукама мој дијаграм који је октобра месеца 1924 саопштио научном свету и том приликом растумачио поједиња минима тог дијаграма као поједиње фазе Пенкових ледених доба. У том дијаграму показују ледена доба Гинц, Миндел и Рис, свако по две јасне фазе, док се у Вирму показала и трећа фаза која се мојим новијим испитивањима још јасније испољила. И у том дијаграму је интерглацијално доба између Миндела и Риса далеко дуже од осталих интрглацијалних доба, и овде је прва фаза Риса јача од друге, а друга фаза Вирма јача од осталих двеју.

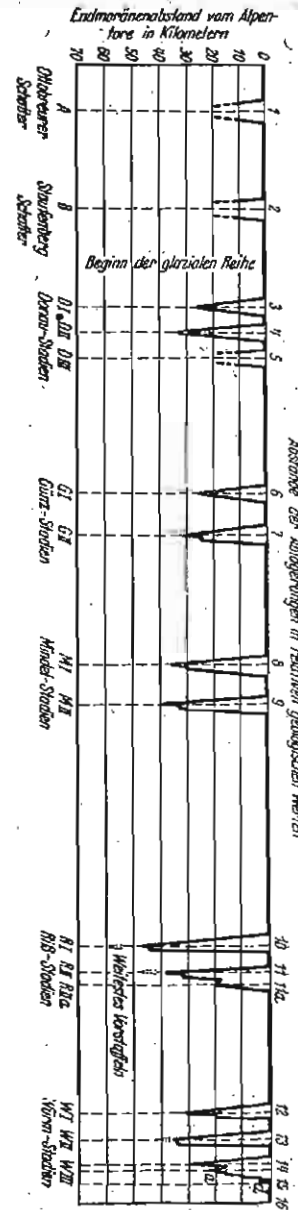
Када је Еберлу мој дијаграм дошао у руке и он, са разумљивим изненађењем, видео потпуно подударање тога дијаграма са резултатима његових властитих испитивањима, обратио се он у следећој ствари мени. Посредовањем Кепена, саопштио ми је он да је у области својих испитивања нашао и испитао један слој старог шотера који се по свом висинском положају и по свом изгледу издваја из осталих и који мора да је био стајложен већ пре Гинца. Тада шотер нашао је Еберл онда у два засебна хоризонта; а касније је нашао и трећи његов слој. Даље ми је Еберл саопштио да је, високо горе на Штауфербергу, нашао још један слој шотера који је био још старији од оног првог. Питање да ли се и ти старији слојеви не би могли довести у везу са мојим температурним кривама и тиме одредити астрономским путем њихова старост, определило је Еберла да ме замоли да моје температурне криве продужим и преко 650-хиљадите године пре садашњости.

На тај позив, ја сам израчунао и Еберлу послао диаграм, претстављен у слици 5. При израчунавању тог диаграма показало се да, продирањем у даљу прошлост, секуларни ток инсолације мења свој изглед. Место двоструких узастопних минима појавила су се, одељена дугим размаком од Гинца, три суседна минима, а у даљој прошлости два изолована минима у великом размаку један од другог. Испитивања Еберлова показала су да су се све те фазе, како их је показао мој дијаграм, испољиле у давној прошлости и оставиле свога трага. То показује јасно Еберлов стратиграфски дијаграм репродукован у слици 6. У том Еберловом дијаграму претстављају абсцисе временска отстојања поједињих слојева изражена у релативним геолошким вредностима. Ти временски размаци показују исти ритам као и временски размаци минима инсолације у мојем дијаграму. У мојем дијаграму показују се пред Гинцом три узастопна минима инсолације, па их је Еберл могао идентификовати са она три слоја шотера о којима је мало час било говора. Те слојеве назива Еберл дунавским стадијумом леденог доба и ставља овај као почетни члан целокупног леденог доба, пред Пенкову серију. Она два изолована минимума инсолације који се у мом дијаграму показују у још давнијој прошлости идентификовао је Еберл са давно траженим плиоценским шотером који је он нашао у два разна слоја и назвао их именима штауфенбершки и отобајерски шотер.

Еберлов дијаграм добива своје потпуно значење за астрономску теорију климатских промена када се узме ово у обзир. У том дијаграму унете су као ординате она просторна одстојања која су прекрилила поједине фазе алпских квarterних глечера у пределу испред Алпа. Та отстојања означена су на терену крајњим моренама тих глечера; једино морене најстаријих фаза нису се очувале. Зато нам ординате Еберловог дијаграма претстављају геометријске величине којих је одредба ослобођена свих субјективних момената и тумачења. Узме ли се још у обзир да, та на терену природом означена отстојања, леже по својој величини између граница од 25 до 50 километара, то је јасно да су она могла бити тачно измерена и да њихове релативне величине зависе од случајности. Зато Еберлов дијаграм претставља релативне интензите поједињих фаза леденог доба веома поуздано. Подударање тог Еберловог дијаграма било је са мојим старим дијаграмом неочекивано добро, са мојим новим дијаграмом.



Сл. 5.



Сл. 6.

оно је потпуно. По Еберловом дијаграму био је релативни однос интензитета Пенкових ледених доба овај: Миндел јачи од Гинца, Рис јачи од Миндела, Вирм опет нешто слабији. Исти однос интензитета показује и мој дијаграм. По Еберлу је била друга фаза Миндела јача од прве, а прва фаза Риса јача од друге. То исто показује и мој дијаграм. Да је друга фаза Гинца, а и друга фаза Вирма морала оставити јачег трага но што то следује из инсолације криве, видећемо у следећим одељцима ове расправе. Зато постоји потпуно подударање између Еберлових података, добивених мерењем на терену, и мојих, добивених астрономским рачуном. Са Еберловим дијаграмом чврсто је склопљен обруч доказа да је секуларни ток инсолације био главни узрок свих већих климатских промена квартетног доба.

IV.

Сви резултати палеоклиматских испитивања о којима је мало час реферисано добивени су помоћу дијаграма секуларног тока инсолације, које сам израдио за Кепен-Вегенерово односно за Еберлово дело. Ти дијаграми тичу се летних количина сунчане топлоте и односе се на северне географске ширине од 55° , 60° и 65° . Од интереса је долунити тако добивену слику на тај начин да се узму у обзир и остале географске ширине, не само северне него и јужне, а да се поред летних количина сунчане топлоте узму у обзир и зимске. Сви податци за такав подухват садржани су у таблици 1 саопштеној на kraju ове расправе. Такве графичне претставе секуларног тока инсолације биће, из техничких разлога, објављене на другом месту. Овде ћемо описати само главне особине тога тока, а и секуларног тока температуре који је са овим у тесној вези.

Математска теорија климата, којој сам посветио два засебна дела, пружа сва потребна сретства да се из секуларног тока инсолације рачунским путем изведе секуларни ток температуре. Потребно је да растумачимо шта ваља разумети под тим температурним током. По споменутој теорији рачунски добивена температура бала би она која би владала на уравњеној Земљиној површини, дакле у средњој висини континената т. ј. у висини од каквих 100 метара. Без осетне грешке дозвољено је ту температуру идентификовати са температуром у висини морске површине. Због тога ваља под секуларним током температуре

разумети секуларне варијације температуре у висини морског нивоа, као последице промењеног распореда сунчеве инсолације по површини Земље. Утицај површинског рељефа континената и његове промене услед огромног нагомилавања леда, за време ледених доба, биће испитан и описан у наредном одељку.

Да бисмо теоретски извели тако дефинисани секуларни ток температуре, уочимо једно произвољно место Земљине површине чија географска ширини је и једну произвољну годину t геолошке прошлости. За време једног тачно одређеног временског интервала те године, рецимо једног годишњег доба, нека пристиже на токују границу атмосфере, просечно рачуната, дакле у јединици времена (минута) и на јединицу површине (cm^2) количина W сунчеве топлоте. Истом таквом годишњем добу садашњости нека одговара место колинине W_0 . Онда се разлика

$$(1) \quad \Delta W = W - W_0$$

назива секуларном променом инсолације уоченог годишњег доба.

Нека u буде средња температура доњег слоја ваздуха за време уоченог годишњег доба године t геолошке прошлости, т. ј. апсолутна температура

$$(2) \quad \Theta = 273^{\circ} + u$$

Ова температура може се, као што је у споменутим делима показано, израчунати из инсолације W помоћу обрасца

$$(3) \quad \sigma \Theta^4 = \frac{1}{2} (1 - A) (1 + kM) W$$

У овом обрасцу претстављајући константу Стефановог закона, A рекфлесиону способност Земље и њене атмосфере, k абсорпциони кофицијент атмосфере за тамне зраке, а M масу стуба атмосфере који се уздиже над јединицом површине.

Садашњости нека одговарају, место величина u , Θ , A , k ове u_0 , Θ_0 , A_0 , k_0 , онда постоје једначине

$$(4) \quad \Theta_0 = 273^{\circ} + u_0$$

$$(5) \quad \sigma \Theta_0^4 = \frac{1}{2} (1 - A_0) (1 + k_0 M) W_0$$

Маса M атмосфере остала је у (5) непромењена, јер никакви знаци не говоре да се је она могла променити за време

геолошког доба које овде долази у обзир. Разноликост вредности величине A за садашњост и за прошлост потиче услед тога што је ледени покривач леденог доба био у стању да осетно промени рефлексиону способност Земљине површине. Промена величине k могла би наступити осетнијом променом воде-не паре или угљене киселине, садржане у атмосфери. Из теоретске могућности такве промене извели су Архениус и де Марки своје хипотезе ледених доба, данас потпуно напуштене. Зато ћемо ставити

$$(6) \quad k = k_0,$$

чим није речено да не могу наступити локалне промене величине k .

Из предњих једначина следује

$$(7) \quad \left(\frac{\Theta}{\Theta_0} \right)^4 = \frac{1 - A}{1 - A_0} \frac{W}{W_0}$$

$$(8) \quad \sigma(\Theta^4 - \Theta_0^4) = \frac{1}{2} (1 + k_0 M) [(1 - A) W - (1 - A_0) W_0]$$

а из (2) и (4)

$$\Theta^4 - \Theta_0^4 = 273^4 \left[\left(1 + \frac{u}{273} \right)^4 - \left(1 + \frac{u_0}{273} \right)^4 \right]$$

Узме ли се у обзир да су $\frac{u}{273}$ и $\frac{u_0}{273}$ малени бројеви, та-ко да се њихове више потенције могу занемарити према једи-ници, то се добива применом биномског обрасца

$$\Theta^4 - \Theta_0^4 = 4 \cdot 273^3 (u - u_0)$$

Секуларна разлика температуре претстављена је изразом

$$(9) \quad \Delta u = u - u_0,$$

па је зато

$$(10) \quad \Delta u = \frac{1 + k_0 M}{8 \sigma 273^3} [(1 - A) W - (1 - A_0) W_0]$$

Узму ли се, за сада, у обзир само они крајеви Земљине површине који за време ледених доба нису лежали под снежним покривачем, или примене ли се горња расуђивања на инерглацијалне периоде некад залеђених крајева, то ваља ставити

$$A = A_0,$$

па се у овом случају добива место (10)

$$(11) \quad \Delta u = (1 - A_0) \frac{1 + k_0 M}{8 \sigma 273^3} \Delta W.$$

Израз

$$(12) \quad n = (1 - A_0) \frac{1 + k_0 M}{8 \sigma 273^3}.$$

претставља једну константну величину коју смо означили са n , па је зато

$$(13) \quad \Delta u = n \Delta W.$$

У незалеђеним крајевима је, дакле, секуларна промена температуре пропорционална секуларној промени инсолације.

За израчунавање константе n ваља употребити ове податке: $A_0 = 0,40$; $k_0 = 0,00245$; $M = 1033,3$; $\sigma = 0,76 \cdot 10^{-10}$ (све у центи-метар-грам-минута систему); па се тај начин добива заокружено

$$(14) \quad n = 170.$$

Ова теоретски одређена вредност за n , која важи као средња вредност за све географске ширине, може се заменити empirijskom вредности која се налази на следећи начин и у којој долазе до израза локалне особине ученог предела. Из предњих једначина следује

$$\left(\frac{\Theta_0 + \Delta u}{\Theta_0} \right)^4 = \frac{W_0 + \Delta W}{W_0}$$

т. ј.

$$\left(1 + \frac{\Delta u}{\Theta_0} \right)^4 = 1 + \frac{\Delta W}{W_0}$$

или занемаривањем виших потенција маленог броја $\frac{\Delta u}{\Theta_0}$

$$\Delta u = \frac{1}{4} \frac{\Theta_0}{W_0} \Delta W.$$

Стави ли се, дакле,

$$(15) \quad n = \frac{1}{4} \frac{\Theta_0}{W_0},$$

то се добива олет једначина (13), али се вредност коефицијента

п може одредити помоћу посматране вредности температуре Θ_0 .
Хоћемо ли добивене једначине да употребимо за израчунавање секуларних варијација средње температуре летње или зимске полугодине, то ваља ово узети у обзир. У обрасцу (13) ваља за ΔW ставити средњу т. ј. по јединици времена израчунату, инсолацију у грам-калоријама. У таблици 1, на крају ове расправе, саопштене су секуларне варијације летњих, односно зимских топлотних количина Q_e и Q_h у каноничким јединицама, т. ј. за $I_0=1$; $T=100.000$. Пошто је у ствари $T=526.000$ минута, а $I_0=2$ грам-калорије по cm^2 , то треба бројеве споменуте таблице помножити са $\frac{2 \times 526.000}{100.000}$. Но како калоричне полугодине имају свака дужину од $\frac{1}{2} 526.000$ минута, то ваља добивене бројеве још поделити са $\frac{1}{2} 526.000$. Једном речи, бројеве таблице ваља помножити са $\frac{4}{100.000}$.

На тај се начин добива за секуларну варијацију средње температуре летње полугодине овај образац

$$\Delta u_e = \frac{4\pi}{100.000} \Delta Q_e$$

т. ј. због (14)

$$(16) \quad \Delta u_e = 0,0068 \Delta Q_e .$$

Секуларна варијација средње температуре зимске полугодине дата је овим изразом

$$(17) \quad \Delta u_h = 0,0068 \Delta Q_h .$$

Секуларна варијација средње годишње температуре дата је изразом

$$(18) \quad \Delta u_\tau = \frac{1}{2} (\Delta u_e + \Delta u_h) .$$

У метеоролошкој пракси оперише се обично са средњим температурама најтоплијег и најхладнијег месеца, и средњом годишњом температуром, зато ћу да покажем како се секуларне варијације тих температура израчунавају.

Годишњи ток температуре претстављен је, када се ради о

температури на континенту, која једино долази овде у обзор, доста тачно синусном линијом. Тај ток претстављен је, према томе, обрасцем

$$(19) \quad u = u_r + a \sin \frac{2\pi}{T} t .$$

где u_r означава средњу годишњу температуру, а T дужину тропске године. Овај образац нека претставља годишњи ток температуре уочене године геолошке прошлости. За садашњост вреди овај образац

$$(20) \quad u_0 = u_r + a_0 \sin \frac{2\pi}{T} t .$$

У горњим обрасцима представљају a и a_0 амплитуде годишњег тока температуре. Јасно је да је

$$(21) \quad u_\tau - u_r = \Delta u_\tau .$$

Означимо са u_e и u_h средње температуре летне односно зимске полугодине, то је

$$u_e \cdot \frac{T}{2} \int_0^{\frac{T}{2}} u dt ; \quad u_h \cdot \frac{T}{2} = \int_{\frac{T}{2}}^T u dt ,$$

одакле применом (19) и интегрисањем следује

$$(22) \quad u_e = u_r + \frac{2}{\pi} a ; \quad u_h = u_r - \frac{2}{\pi} a .$$

Средње температуре најтоплијег односно најхладнијег месеца уочене године геолошке прошлости u_1 и u_2 претстављене су овим изразима

$$u_1 \frac{T}{12} = \int_{\frac{T}{4} - \frac{T}{24}}^{\frac{T}{4} + \frac{T}{24}} u dt ; \quad u_2 \frac{T}{12} = \int_{\frac{3}{4} T + \frac{T}{24}}^{\frac{3}{4} T + \frac{T}{24}} u dt ,$$

одакле применом (19) и интегрисањем следује

$$(23) \quad \frac{u_1}{6} = \frac{u_r}{6} + 0,2588 \frac{2}{\pi} a ; \quad \frac{u_2}{6} = \frac{u_r}{6} - 0,2588 \frac{2}{\pi} a .$$

За садашњост добивају се на исти начин ови изрази

$$(24) \quad u_e^0 = u_r^0 + \frac{2}{\pi} a_0; \quad u_h^0 = u_r^0 - \frac{2}{\pi} a$$

$$(25) \quad \frac{u_1^0}{6} = \frac{u_r^0}{6} + 0,2588 \frac{2}{\pi} a_0; \quad \frac{u_2^0}{6} = \frac{u_r^0}{6} - 0,2588 \frac{2}{\pi} a_0.$$

Из (21) до (25) следује, узевши у обзир (18) и то, да је

$$\Delta u_1 = u_1 - u_1^0; \quad \Delta u_2 = u_2 - u_2^0; \quad \Delta u_e = u_e - u_e^0;$$

$$\Delta u_h = u_h - u_h^0$$

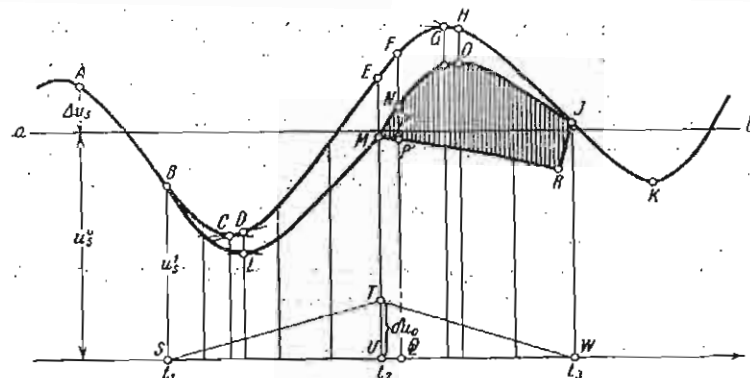
$$(26) \quad \left| \begin{array}{l} \Delta u_1 = \Delta u_e + 0,2764 (\Delta u_e - \Delta u_h) \\ \Delta u_2 = \Delta u_h + 0,2764 (\Delta u_h - \Delta u_e). \end{array} \right.$$

На тај начин могу се из секуларних варијација средње годишње и средње летње, односно зимске температуре израчунати секуларне варијације средњих температура најтоплијег односно најхладнијег месеца у години. Под овим месецима треба разумети екстремне месеце т. ј. интервале од 30,44 најтоплијих односно најхладнијих дана у години. Са календарским месецима не може се при оваквим испитивањима већ због тога оперисати, што се наш календар, ни јулијански ни грекоријански, не поклапа са стварним током сунчаних година. Тако заостаје јулијански календар, чија је година узета за временску јединицу у Леверјеовим и Стоквеловим рачунима, сваких 128 година за цел дан иза стварног тока годишњих доба, па би, већ за време једне дванаестине уоченог интервала геолошког времена, пролетни екви-нокцијум дошао до коинциденције са свима календарским данима године.

Добивени резултати омогућавају заједничку графичку претставу секуларног тока инсолације и секуларног тока температуре; добивене криве већа само очитати разним мерилима, једним за топлотне количине, а другим за температуре. Таква претстава биће објављена, као што је речено, на другом месту.

V.

Када би наша Земља имала потпуно уравњену површину, она би, као и Марс, имала своје поларне калоте снега, али не би носила на својој површини никакве глечере, нити би преживела била своја ледена доба, јер за такве појаве је присуство брда неопходна потреба. Зато је, приступајући сада рачунском испитивању ледених доба, потребно да у математске изразе



100 метара, онда би се уочени предео могао само онда покрити вечним снегом кад би се, у току геолошког доба, летња температура u_e спустила до нуле, а то би могло наступити само у поларним крајевима. У таквом случају би уочени предео био у ствари захваћен поларном капом снега, која секуларно мења своје рас прострањење. Ако се на ученом пределу налазе брда, или ако се тај предео уздиже осетно изнад површине мора, онда ће се на њему појавити снежни покривач, који се за време лета не би отопио онде, где његова надморска висина х и геолошко време t задовоље ову једначину

$$f(\varphi, x, t) = 0.$$

Означимо ли, према томе, са h_1 надморску висину највиших врхова ученог предела, то ће прво формирање вечног снега и први трагови глатације наступити у моменту t_1 геолошког доба које задовољи једначину

$$(28) \quad f(\varphi, h, t_1) = 0.$$

Том моменту нека одговара у секуларној температурној криви тачка B и средња температура u_e^1 лета, редукована на морску површину. Та температура u_e^1 је, природно, виша од температуре u_e у висини h_1 , т. ј. $u_e^1 > u_e$.

Са стварањем таквог снежног покривача ученог предела који се не отапа за време лета, претрпиће и инсолација предела постепено, али све јачу и јачу промену. Секуларни пад летње температуре проузроковаће секуларно силажење границе вечног снега, услед чега ће све пространости и пространости делови ученог предела долазити под снежни и ледени покривач, који се лети неће моћи отопити. Тим ће се стално увечавати и рефлексиона способност A ученог предела, па ће све већи и већи делови сунчеве радијације бити, неискоришћени за топлотни дозазлук Земље, враћани у васиону. Зато ће се, при израчунавању соларних температура ученог предела, морати употребљавати једначина (10), која предвиђа такво мењање величине A . Како ће се у таквом случају израчунати секуларни ток температуре, биће показано доцније, но сад је већ очигледно да ће се температурна крива, која ће одговарати новим приликама, у тачки B одвојити од првобитне криве $A B C D E F$.

Залеђивање ученог краја услед пада летње температуре рас прострањаваће се док не буде достигнута његова крајња гра-

ница која ће зависити од конфигурације предела и од амплитуде секуларног тока инсолације. Та крајња граница рас прострањења нека буде достигнута у моменту t_2 геолошког доба који ћемо моменат одредити доцније. У том је моменту и дејство снежног покривача на температурне прилике достигло своју максималну вредност коју ћемо означити са δu_0 , а рачунски одредити доцније. Дозвољено је претпоставити да је дејство δu снежног покривача за време временског интервала t_1 до t_2 расло пропорционално времену; у моменту t_1 било је оно једнако нули, а у моменту t_2 једнако δu_0 . Зато можемо то дејство претпоставити ординатама праве $S T$, ако учинимо $UT = \delta u_0$, при чему треба да тачка S одговара у временској скали моменту t_1 , а тачка T моменту t_2 . Зато ћемо добити графичну претставу секуларног тока температуре ученог краја, у доба развитка његове глатације, ако ординате криве $B C D E$ умањимо за ординате праве $S T$, т. ј. ове последње пренесемо од одговарајућих тачака криве $B C D E$ на доле. На тај начин добићемо лук $B L M$, а његове ординате претстављаће нам средњу, на морски ниво редуковану, температуру лета као функцију времена. Та нова крива неће имати своју најнижу тачку L испод најниže тачке C првобитне криве $B C D E$, него, као што је лако увидети, испод тачке D , у којој је тангента положена на криву $B C D E$ паралелна правој $S T$. Но тачка L неће одговарати максимуму глатације ученог предела, иако је то најнижа тачка температурног тока, мереног у висини морске површине; јер, са стварањем леденог покривача ступа један нов климатски фактор у акцију: промена површинског рељефа залеђеног краја. Та промена и њене климатске последице могу постати веома замашне. У току ледених доба достигао је ледени покривач у Европи дебљину од једног километра, а у Северној Америци дебљину од два километра. Све када се узму у обзир текtonска померања и изостатско слагање континенталних плоча, лежала је, у оно доба, површина залеђених крајева онолико изнад мора. Одатле опет следује да је површини залеђених крајева одговарала средња летња температура за 7° до 14° нижа, но што је показује крива $B L M$. Означимо ли, према томе, са h_2 надморску висину површине залеђеног предела, то је топљење леда могло тек онда отпочети кад је у тој висини температура лета $u_e(h_2)$ достигла и премашила нулу. Тај временски моменат означили смо са t_2 ; он ће се моћи израчунати из једначине

$$(29) \quad f(\varphi, h_2, t_2) = 0,$$

што ће бити касније учињено.

У моменту t_2 отпочеће, дакле, топљење леденог покривача, а бити довршено у моменту t_3 који ћемо доцније рачунски одредити. И сада је дозвољено претпоставити да ће смањивање леденог покривача тешти пропорционално времену. У истој мери опадаће и дејство снежног покривача на температуру уоченог краја. У моменту t_2 било је то дејство Δu_0 , у моменту t_3 биће оно једнако нули. Зато ће то дејство бити претстављено ординатама праве TW , при чим тачка W лежи у временској скали код t_3 . Зато бисмо, слично као и пре, добили слику секуларног температурног тока у висини морске површине, кад бисмо ординате лука $EFGHJ$, смањили за ординате праве TW . На тај начин бисмо добили лук $MNOJ$, а највиша тачка O овог лука лежала би изнад тачке H криве $EFGHJ$, у којој је тангента паралелна правој TW .

Но, потрошња сунчеве топлоте за топљење снега и леда ће дозволити секуларни пораст $MNOJ$ температуре, него ће се указати слабији пораст температуре претстављен на слици луком $MPRJ$, о чијој ће одредби бити још говора: Зато ће се секуларна температурна крива приклучити првобитној, која би важила за незалеђене крајеве, тек у тачки J . У моменту t_3 који одговара тој тачки, отопљен је цео лед, ледено доба је завршено а отпочиње интерглацијално доба. За даљи секуларни ток температуре важи лук JK првобитне криве. Испревлачена површина $M P R J O N M$ претставља, кад се при њеном премерању употреби временско и топлотно мерило, ону топлотну количину која је за време интервала t_2 до t_3 била употребљена за отапање и одстрањивање леда. Ако је дебљина леденог покривача позната на темељу геолошког испитивања, онда се може рачунским путем, као што ћемо видети, одредити лук $M P R J$ секуларне температурне криве, а тиме и моменат t_3 геолошке прошлости.

Сада, пошто смо се упознали са механизmom феномена глатацијије, можемо приступити математском описивању и испитивању те појаве.

Потребно је, пре свега, наћи аналитички облик функције (27). Сва потребна срећства за тај подухват развијена су у мојој расправи «О осцилацијама температуре у разним слојевима

Земљине атмосфере», која је објављена у овом Гласу, књига CXXXIV. Ту је показано да је годишњи ток температуре у надморској висини x претстављен овим изразом

$$(30) \quad u(x, t) = u_m(x) + a_1 B(x) \cos \frac{2\pi}{T} [t - \varphi(x)],$$

где $u_m(x)$ претставља средњу годишњу температуру у висини x , T дужину тропске године, а t време, мерено од летњег солстиција. Величине $\varphi(x)$ и $B(x)$ дате су у таблици, саопштеној у споменутој расправи и то за разне висине x . У тој расправи изведене су и ове једначине

$$(31) \quad u_m(x) = u_r + b(e^{-\frac{x}{H}} - 1)$$

$$(32) \quad b = \frac{1}{8} \frac{(1-A)a_0}{273^2 \sigma} kM,$$

где u_r претставља средну годишњу температуру у висини x . Пошто се ради о ограниченим висинама, то израз (31) можемо заменити овим

$$u_m(x) = u_m(0) + \frac{\partial u_m(0)}{\partial x} x.$$

Тако добивамо

$$(33) \quad u_m(x) = u_r - \frac{b}{H} x$$

Апсолутно мерена средња годишња температура у висини $x = 0$, т. ј.

$$(34) \quad \Theta_r = 273^0 + u_r$$

може се израчунати помоћу једначине (3), па је зато

$$(35) \quad \sigma \Theta_r^4 = \frac{1}{2} (1-A) a_0 (1+kM).$$

Из једначина (32) и (35) следује

$$b = \frac{1}{4} \frac{\Theta_r^4}{273^8} \frac{kM}{1+kM}.$$

Из (34) следује занемаривањем виших потенција маленога броја $\frac{u_r}{273}$

$$\Theta_r^4 = 273^4 \left(1 + 4 \frac{u_r}{273}\right),$$

шта се добива

$$b = \frac{273}{4} \left(1 + 4 \frac{u_r}{273}\right) \frac{kM}{1 + kM}.$$

Величина u_r не утиче осетно на нумеричку вредност кофицијента b . Ставимо ли, према томе, за u_r једну осредњу вредност и то, пошто се ради о високим географским ширинама, вредност $u_r = 0$, то добивамо:

$$(36) \quad b = \frac{273}{4} \frac{kM}{1 + kM}.$$

На тај начин долазимо до овог обрасца:

$$u(x, t) = u_r - \frac{b}{H}x + a_1 B(x) \cos \frac{2\pi}{T}[t - \varepsilon(x)].$$

Температура $u(x, t)$ осцилује у току године око своје средње вредности $(u_r - \frac{b}{H}x)$ амплитудом $a = a_1 B(x)$. Зато ћemo, као што је показано при развијању једначина (22), добити за средњу температуру летње односно зимске полугодине ова два израза

$$(37) \quad \begin{cases} u_e(x) = u_r - \frac{b}{H}x + \frac{2}{\pi} a_1 B(x) \\ u_h(x) = u_r - \frac{b}{H}x - \frac{2}{\pi} a_1 B(x) \end{cases}$$

По споменутој таблици, саопштеној у мојој расправи, нумеричка вредност величине $B(x)$ за висину од једног километра једнака је $0,90 B(x)$, а скоро исти такав резултат дају и метеоролошка опажања. Зато можемо, пошто се ради о ограниченим висинама, ставити

$$B(x) = B(0)[1 - 0,10x].$$

При том ваља x мерити километрима. Добивамо, дакле,

$$u_e(x) = u_r - \frac{b}{H}x + \frac{2}{\pi} a_1 B(0)[1 - 0,10x]$$

$$u_h(x) = u_r - \frac{b}{H}x - \frac{2}{\pi} a_1 B(0)[1 - 0,10x]$$

За $x = 0$ следије

$$u_e = u_r + \frac{2}{\pi} a_1 B(0)$$

$$u_h = u_r - \frac{2}{\pi} a_1 B(0),$$

т. ј. елиминацијом члана $a_1 B(0)$ из предњих једначина,

$$(38) \quad \begin{cases} u_e(x) = u_r - \frac{b}{H}x - 0,10(u_e - u_r)x \\ u_h(x) = u_r - \frac{b}{H}x + 0,10(u_r - u_h)x \\ u_r = \frac{1}{2}(u_e + u_h). \end{cases}$$

Употребом саопштених нумеричких вредности за k и M и са $H = 8$ км, добивамо помоћу (36)

$$\frac{b}{H} = 6,12$$

т. ј.

$$(39) \quad \begin{cases} u_e(x) = u_r - 6,12x - 0,10(u_e - u_r)x \\ u_h(x) = u_r - 6,12x + 0,10(u_r - u_h)x. \end{cases}$$

Ове једначине казују како опада летња, односно, зимска средња температура са растућом надморском висином. И оне се подударају врло добро са метеоролошким опажањима. Из тих се једначина види јасно зашто је опадање температуре са висином у лето веће него зими; то је због тога, што је у првом од горњих двају израза последњи члан негативан, а у другом изразу позитиван.

Горњи образац за $u_e(x)$ даје нам, ако у њему величине u_e и u_h представимо помоћу података таблице 1 као функције географске ширине и геолошког времена, тражену функцију (27). Помоћу те функције можемо моменат t_1 , т. ј. почетак леденог доба лако израчунати. Ако је h_1 максимално узвишење уоченог предела изнад површине мора, то треба да буде $u_e(h_1) = 0$. Зато је t_1 дато једначином

$$(40) \quad u_e - 6,12 h_i - 0,10(u_e - u_r) h_i = 0.$$

Тачка В лука А В С, чија апсиса задовољава предњу једначину, је она тачка у којој се температурна крива залеђеног предела одваја од температурне криве исте географске ширине, или незалеђеног предела.

Даљи ток температурне криве залеђеног предела зависиће од дејства снежног покривача на температуру ваздуха. Да то дејство претставимо аналитички, потребно је вратити се једначини (10), којој можемо због (12) дати овај облик

$$(41) \quad \Delta u = n \left[\frac{1-A}{1-A_0} W - W_0 \right].$$

У моменту t , почиње A да бива веће од A_0 , па како је $0 < A_0 < 1$; $0 < A < 1$, то ће разломак $\frac{1-A}{1-A_0}$ бити прави и позитиван. Зато можемо ставити

$$(42) \quad \frac{1-A}{1-A_0} = 1 - \xi$$

при чему је $0 < \xi < 1$. Тако добивамо

$$\Delta u = n [W - W_0 - \xi W].$$

Како је $W - W_0 = \Delta W$, то је $W - W_0 - \xi W = \Delta W_0 - \xi \Delta W$ при чему се члан $\xi \Delta W$, продукт двају малих бројева, може занемарити. На тај се начин добива

$$(43) \quad \Delta u = n \Delta W - n \xi W_0.$$

Употребимо ли овај образац за израчунавање летње, зимске, односно годишње средње температуре, па означимо ли секуларну промену тих температура, сада где се води рачуна о дејству снежног покривача, са $\Delta u'_e$, $\Delta u'_h$ и $\Delta u'_t$, то добивамо

$$(44) \quad \Delta u'_e = \Delta u_e - 0,0068 \xi Q_e^0$$

$$(45) \quad \Delta u'_h = \Delta u_h - 0,0068 \xi Q_h^0$$

$$(46) \quad \Delta u'_t = \Delta u_t - 0,0068 \xi \frac{Q_e^0 + Q_h^0}{2}$$

Ови се обрасци разликују од пређашњих образаца (16) и (17) присуством члана $-0,0068 \xi Q_{e,h}^0$ који претставља дејство

снежног покривача. У том члану, коефицијент ξ није још одређен. Нумериčка вредност тог коефицијента зависиће од обима глацијације залеђеног предела. Потпуној глацијацији залеђеног краја одговараће, у његовом средишту, максимална вредност коефицијента ξ . Та максимална вредност, коју ћemo означити са ξ_0 може се израчунати на овај начин.

Од целокупне сунчане радијације која стиже на горњу границу Земљине атмосфере, продире до Земљине површине само једна трећина и то у облику директних и дифузних сунчаних зрака. Средња рефлексиона способност Земљине површине је 0,08, па зато се губе на Земљиној површини још 2,3% за топлотни домазлук Земље, пошто један део рефлексованих зрака буде задржан аборпцијом у самој атмосфери. Або и Фаул су нашли да је рефлексиона способност крајева покривених снегом једнака 0,15, при чему су узели за базу рачуна целокупну инсолацију Земље. Но како средња инсолација поларних крајева стоји према средњој инсолацији целокупне Земље у пропорцији 3 : 5, то се за рефлексиону способност предела покривених снегом добива 0,25. Директна мерења рефлексионе способности снега дала би, вероватно, још већу вредност него што је горњи број, али ћemo га ишак задржати такав какав је, јер споредна дејства снежног покривача: стварање антициклиона, исушивање ваздуха и разведравање неба, смањују рефлексиону и аборпциону способност атмосфере. Са рефлексионом способностима 0,25 место са 0,08 добивамо место губитка од 2,3% тоталне инсолације губитак $\frac{0,25}{0,08} \cdot 2,3\% = 7,2\%$, дакле вишак губитка од 4,9%. Значи да би при тоталној глацији место нумериčке вредности $A_0 = 0,400$ следовало $A = 0,449$. На тај се начин добива помоћу (42).

$$(47) \quad \xi_0 = 0,08.$$

Можемо, дакле, ставити

$$\xi = v \xi_0$$

где v означава један број који лежи између 0 и +1, и који се може назвати степеном залеђења уоченог краја.

Са првим појавама глацијације, које почињу са моментом t_1 , почиње v да расте од нуле да би у времену t_2 достигао

своју максималну вредност v_0 . У том моменту претстављено је дејство снежног покривача овим изразом

$$\delta u = 0,0068 v_0 \xi_0 Q_e^0$$

т. ј. због (47) овим

$$(48) \quad \delta u_0 = 0,000544 v_0 Q_e^0.$$

У једном произвольном моменту t , но који лежи између t_1 и t_2 , дејство снежног покривача претстављено је изразом

$$\delta u = \frac{\delta u_0}{t_2 - t_1} (t - t_1).$$

За центре залеђених крајева ваља ставити $v_0 = I$. Са тим бројем добијају се за $\phi = 50^\circ$ ова максимална дејства снежног покривача: за лето — $8,2^\circ$, а за зиму — $3,1^\circ$. Лети је то дејство много веће на зими, јер се лети губи већа количина сунчеве топлоте рефлексијом у висину. О овој појави постоје директна опажања само за зимску полугодину, па се, и у то доба, показало дејство од скоро 7° , што потврђује да је нађена вредност за ξ_0 мања но што би одговарало стварности. Ми ћемо се ипак њом послужити, због споменутих споредних ефеката.

Ако су степен залеђења v_0 и надморска висина h_2 снежног покривача познати на темељу геолошких испитивања, онда се може рачунским путем одредити моменат t_2 у којем је глацијација достигла своју максималну величину. При том се ваља послужити обрасцем (39), у којем се последњи члан може, слободно, занемарити. Због тога ће средња летња температура у висини x бити претстављена изразом

$$u_e(x) = u_e - \delta u_0 - 6,12 x.$$

Та температура треба да за $x = h_2$ буде равна нули, па је зато

$$(49) \quad u_e - \delta u_0 - 6,12 h_2 = 0.$$

Горњом једначином одређена је тачка E температурног диаграма, а тим је одређен и лук $B L M$ температурне криве. Да одредимо и остали део те криве, ваља узети ово у обзир. Када би моменат t_0 био познат, то би тим био одређен и лук $M N O J$, ваљало би само ординате криве $E F G H J$ умањити за дужине

$$\delta u = \frac{\delta u_0}{t_3 - t_2} (t_3 - t)$$

које нам претстављају ординате праве $T W$. Но при одређивању момента t_3 ваља, као што је већ речено, водити рачуна о оној топлотној количини која мора бити утрошена за отапање и отстрањивање леденог покривача, због чега ће се место лука $M N O J$ добити лук $M P R J$. Тада температурни ток, а с њим и моменат t_3 могу се одредити на овај начин. Прво ваља узети једну отприлике одабрану вредност t_3 , па са њом извршити овај рачун. Са одабраном вредности t_3 одређен је и лук $M N O J$. Израз $u_e(h_3, t_2)$, који нам претставља температуру мерену у моменту t_3 на површини леденог покривача, треба да према (49) дадне вредност нула, зато ће температура у висини морског нивоа претстављена ординатом $U M$ бити виша од нуле. За време довољно кратког временског интервала Δt претстављеног дужином UQ биће за отапање леда утрошена она количина топлоте која је претстављена површинским елементом $M P N$, при чему је дозвољено лук $M P$ заменити правом дужином $M P'$, паралелном са абсцисном осом. Претворимо ли тај површински елеменат у правоугаоник са базом Δt , па добијемо ли при том за висину његову дужину Δu_e , то је, мерећи ту дужину температурним мерилом, а узимајући у обзир (13) и (14)

$$\Delta W_e = \frac{\Delta u_e}{170}$$

она топлотна количина која се у интервалу времена t_2 до $t_2 + \Delta t$ троши у јединици времена за отапање леда, на свакој јединици површине залеђеног предела. Зато се за време тог интервала утроши свега по јединици површине топлотна количина

$$\Delta Q = \frac{1}{2} \Delta W_e \Delta t.$$

Овде смо поделили са два, јер се топљење леда врши само за време летње полугодине. Меримо ли време Δt у хиљадама година, то га вали, претварајући га у минуте, помножити са 1000×526000 . На тај начин добива се

$$\Delta Q = 1,550.000 \Delta u_e \Delta t,$$

мерено у грамкалоријама. Услед потрошње ове топлотне коли-

чине отопиће се један слој снежног покривача и његова дебљина снизиће се за Δh , коју ћемо дужину мерити у километрима. Рачунајући са специфичном тежином леда од 0,90, добивамо за отопљену количину леда на сваком квадратном центиметру површине $90000 \Delta h$ грама. Сваки грам леда захтева за своје топљење 80 грамкалорија. Један део отопљеног леда који ћемо означити са η можи ће се отстранити само испаривањем, јер ће само у периферним деловима заљеђеног предела можи таква вода слободно да отиче. Како је за испаривање једног грама воде потребно 600 грамкалорија, то ће за отапање и отстрањивање сваког грама леда требати свега $(80 + 600 \eta)$ грамкалорија. Да би се, према томе, ледени покривач отопио за слој од Δh километара, мора се по сваком центиметру површине утрошити топлотна количина од $(80 + 600 \eta) 90000 \Delta h$ грамкалорија, а та количина мора бити једнака количини ΔQ . На тај начин добивамо

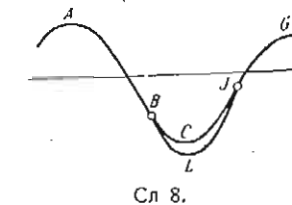
$$(50) \quad \Delta h = \frac{17,2 \Delta Q_e \Delta t}{80 + 600 \eta}.$$

За време отапања леда не мења се температура ваздуха изнад леденог покривача. Кад се, према томе, површина леденог покривача не би, услед отапања леда, спуштала према мору, био би секуларни ток температуре претстављен правом паралелном абсцисној оси, но пошто се површина леденог покривача спустила за време Δt за Δh према доле, то, узев у обзир главне чланове једначине (39), температурна разлика PP' мора бити једнака $6,12 \Delta h$, да би температура над леденим покривачем остала непромењена. Тим је дат положај тачке P . На тај начин може се, корак по корак, одредити температурни ток $M P R J$ који би одговарао одабраном времену t_3 . При том треба, непосредно пре но што је достигнут моменат t_3 , да целокупни ледени слој који је покрио уочени предео буде отопљен т. ј. топлотна количина претстављена површином $M P R J O N M'$ треба да буде једнака оној топлотној количини која је потребна за отапање и отстрањивање леденог покривача. При крају тако одређеног секуларног температурног тока појављује се стрм пораст температуре $R J$ као спој са кривом $G H J K$. Ако одабрана вредност времена t_3 не одговара том услову, мора се рачун толико пута поновити док тај услов не буде испуњен. Такво израчунавање секуларног тока температуре можи се само у изузетним случајевима стварно извршити, кад

се буде имало доволно података о дебљини леденог покривача, о конфигурацији земљишта и о могућности отицања отопљеног леда. Но, већ сама теоретска могућност таквог рачуна, тумачи доволно механизам глацијација и даје његове карактерне особине да је могуће из свега претходног извући ове закључке.

За време минулих 600 хиљада година, и то за време девет епоха које су у приложеним диаграмима означене са Гинц I, Гинц II, Миндел I, Миндел II, Рис I, Рис II, Вирм I, Вирм II и Вирм III, опала је, услед промене астрономских елемената и услед промењеног распореда сунчане топлоте на површини Земље, у умереним и поларним крајевима северне хемисфере, средња температура лета за 4 до 5 гради, док је средња температура најтоплијег месеца у години била нижа за 5 до 7 гради него што је сада. Тим смањивањем летње температуре померила се и граница вечног снега и лежала за 700 до 800 метара ниже но сада. Услед тога, били су пространи предели прекривени снегом и ледом, а ледењаци се спустили освајачки у долине. Све је то изазвало још веће снижавање летње температуре, даље спуштање границе вечног снега и глацијацију све већих делова Земљине површине. Ефекат овог другог узрока снижавања летње темпратуре, т. ј. дејство снежног покривача, био је скоро двапут толики, колики ефекат примарних узрока, све када се узму у обзир сви споредни утицаји који су дејствовали у противном смислу. Зато је у центрима глацијација тотално померање границе вечног снега достигло величине од два километра. Тим су дошли пространи предели северне Европе и Северне Америке под слој леда који је био дебео километар и више, сем тога и сви они предели где је присуство брда омогућавало такву појаву. Са наступом топлијих лета отопио се тај снежни покривач брзо само онде где није био дебео и где је његово дејство на температуру ваздуха било малено. То је било само у граничним крајевима глацијација. У температурном дијаграму тих предела лежала је тачка J још у луку G и ту је температурна крива имала облик претстављен у слици 8.

У периферним крајевима глацијација разликовао се секуларни ток температуре $A B L J G$ од секуларног тока инсолације $A B C J G$ само



Сл. 8.

својим делом $B L J$, т. ј. имао је само јаче изражен минимум. У истом смислу мења се и инсолациона крива $A B C J G$ ако промене инсолације што би их она дала, изразимо помоћу фиктивних промена географске ширине, јер вишеј географској ширини одговара, при истој промени инсолације, већа фиктивна промена ширине. То је разлог зашто су дијаграми инсолације дали за периферне пределе тако одличне резултате.

У централним крајевима глацијација, владале су друге прилике. Овде је ледени покривач достигао дебљину од километра и више, па је зато и његово дејство на температуру ваздуха било много јаче. То ћемо најбоље видети на једном конкретном примеру. Пре 115 хиљада година, била је, као што се може израчунати из таблице 1, средња температура летње полугодине на географској ширини од 65° , северно, за четири степена нижа но што је сада. Значи да је, у то доба, у том крају, граница вечној снега, већ само због тог узрока, лежала 650 метара ниже но сада. Онде где су се, услед тог силажења границе вечној снега, покрили пространи предели леденим покривачем, охладила се, услед дејства тог покривача, летња температура за даљих $7,3^{\circ}$, а то је изазвало даље силажење границе вечној снега за 1200 метара. Тако је целокупно померање границе вечној снега према доле било 1850 метара. Пошто сада, на географској ширини од 65° , граница вечној снега има надморску висину мању од 1850 метара, то су, у оно доба, били пространи делови северне Европе и Северне Америке затрпани снегом и ледом. Са доласком топлијих лета, могло је у тим крајевима топљење снега тек онде отпочети где је летња температура попела изнад нуле. Онде где је површина снежног покривача лежала на 1000 метара изнад мора, била је, услед саме те висинске разлике, температура ваздуха над ледом за $6,1^{\circ}$ нижа него над морем; а како је ледени покривач охладио тај ваздух још за даљих $7,3^{\circ}$, то је топљење леда могло отпочети само онде где је летња температура над морем, без утицаја леденог покривача, била више од $13,4^{\circ}$. Секуларни пораст температуре који се појавио у интервалу од пре 115 до пре 92 хиљаде година, био је веома слаб па није достигао ни 1° , зато је, у он о доба, ледени покривач од претпостављене дебљине могао отопити само онде где влада данас температура, редукована на висину морске површине од $12,4^{\circ}$. У свим осталим заљеђеним пределима штитио је ледени покривач висински положај

јак његове површине од отапања. Тек између 92 и 79 хиљадите године могло је, услед јачег секуларног успона температуре, доћи до јачег отапања заљеђених предела. Могуће је израчунати дебљину леденог слоја који је онај успон температуре могао да отопи. Тај топлотни талас трајао је 13 хиљада година са средњим порастом температуре од $1,6^{\circ}$. Помоћу (50) и са $\eta = \frac{2}{3}$ добива $\Delta h = 0,75$ km. Према томе, могао је онај топлотни талас да уклони ледени слој од 750 метара дебљине. Ако је ледени покривач био дебљи или, што још чешће био случај, ако је његовом географском положају одговарала садашња летња, на морску површину редукована температура, мања од $12,4^{\circ}$, онда се, у уоченом добу геолошке прошлости, није могао ледени покривач отопити. У таквом су се случају, као што то следује из дијаграма, спојиле прва и друга фаза леденог доба Вирм у једну целину, често пута заједно са овима, и трећа вирмска фаза.

Слична израчунавања могу се, са истим резултатом, извршити и за остале три доба, а и за алпске пределе. Увек се долази до тога да у центрима заљеђених предела, где су висински положај снежног покривача и његова дебљина били довољни, да су се ту периоде минима инсолације стопиле у четири ледена доба Пенкова, одељена једно од другог трима интерглацијалним добима.

Та појава није остала без утицаја ни на температурну криву периферних предела, па је услед тога минимум друге фазе поједињих ледених доба био појачан, о чему је већ било говора.

На географским ширинама поларне зоне била су температурна минима јаче акцентирана него на низим географским ширинама, док су температурна максима била слабија. Узме ли се, поред тога, у обзир да су на тако високим ширинама да наше летње температуре веома ниске, то је лако увидети да су се онде, у повољним приликама, стопила два и два Пенкова ледена доба у једно. Тамо су Гинц и Миндел дали једно, а Рис и Вирм друго од тих ледених доба. Стапање свих четирију ледених доба у једно јединствено могло је наступити само онде где је површина леда лежала тако високо да ни најтоплији талас секуларног тока није био у стању да нагриза ледени покривач. То је био случај у Гренланду где ледено доба траје и

дан данашњи. Иначе су на свим осталим деловима поларне зоне била она два ледена доба, Гинц-Миндел и Рис-Вирм, одељена једно од другог величјим интерглацијалним добом које је на нижим ширинама трајало скоро 200 хиљада година и које је имало три периода веома топлих лета.

Из свега саопштеног следује да су се у периферним крајевима глацијација јасно испољили сви таласи секуларног тока инсолације, а нарочито оних девет главних минима тога тока. У централним деловима залеђених предела стопила су се су судна минима инсолације у четири ледена доба, а у поларним крајевима у два дуга ледена доба.

Тако су све фазе ледених доба нашле своје објашњење у секуларном току распореда сунчане топлоте, изазваном секуларним варијацијама астрономских елемената. Ледено доба одиграло се тачно онако како то захтева ток планетских пертурбација; зато је оно и добило своју астрономску хронологију.

ТАБЛИЦЕ

Секуларне промене распореда сунчеве топлоте по површини Земље.

Таблици 1.
Секуларне промене распореда сунчеве топлоте по површини Земље.
Северна хемисфера

Xp Rownhae 1800 до Xp	Летња полугодина							Зимска полугодина						
	25°	35°	45°	55°	65°	75°		25°	35°	45°	55°	65°	75°	
0,6	- 2	+ 3	+ 7	+ 12	+ 18	+ 27	- 3	- 5	- 7	- 7	- 5	- 5	0	
5	+ 264	+ 271	+ 275	+ 277	+ 288	+ 309	- 304	- 294	- 271	- 234	- 170	- 78		
10	+ 685	+ 667	+ 632	+ 589	+ 553	+ 524	- 742	- 700	- 627	- 528	- 387	- 197		
11,1	+ 697	+ 671	+ 630	+ 578	+ 529	+ 486	- 747	- 699	- 625	- 524	- 384	- 199		
15	+ 482	+ 457	+ 420	+ 374	+ 328	+ 281	- 508	- 471	- 417	- 347	- 255	- 137		
20	- 28	- 72	- 119	- 171	- 243	- 338	+ 84	+ 103	+ 113	+ 111	+ 80	+ 15		
22,1	- 99	- 166	- 237	- 315	- 426	- 573	+ 192	+ 218	+ 229	+ 215	+ 155	+ 41		
25	+ 18	- 74	- 176	- 290	- 444	- 646	+ 92	+ 136	+ 166	+ 170	+ 121	+ 11		
30	+ 453	+ 331	+ 189	+ 27	- 179	- 437	- 358	- 278	- 198	- 130	- 99	- 111		
32,7	+ 498	+ 383	+ 249	+ 96	- 99	- 338	- 417	- 338	- 256	- 183	- 137	- 126		
35	+ 454	+ 354	+ 236	+ 101	- 68	- 277	- 386	- 316	- 243	- 175	- 132	- 116		
40	+ 258	+ 217	+ 168	+ 111	+ 42	- 42	- 239	- 206	- 170	- 131	- 98	- 68		
45	+ 174	+ 206	+ 237	+ 271	+ 322	+ 394	- 232	- 239	- 231	- 207	- 151	- 56		
47,1	+ 152	+ 182	+ 213	+ 246	+ 295	+ 365	- 207	- 213	- 208	- 187	- 135	- 50		
50	+ 182	+ 206	+ 227	+ 250	+ 287	+ 341	- 232	- 233	- 223	- 197	- 143	- 57		
55	+ 355	+ 319	+ 272	+ 217	+ 153	+ 81	- 352	- 317	- 272	- 220	- 162	- 98		

Географска широта (северна)

Xp Rownhae 1800 до Xp	+ 299	- 234	- 157	- 235	- 160
60,6	- 599	+ 510	+ 401	- 317	- 94
65	+ 381	+ 288	+ 178	- 128	+ 61
70	- 178	- 233	- 354	+ 188	+ 87
71,9	- 273	- 317	- 407	+ 229	+ 36
75	- 95	- 144	- 196	+ 314	+ 36
80	+ 700	+ 614	+ 506	+ 177	+ 36
82,8	+ 932	+ 845	+ 734	+ 127	+ 36
85	+ 852	+ 791	+ 708	+ 190	+ 36
90	+ 58	+ 98	+ 189	+ 184	+ 36
94	- 333	- 253	- 158	- 299	+ 84
95	- 311	- 232	- 140	- 190	+ 77
100	+ 345	+ 301	+ 246	- 145	+ 94
105,1	+ 915	+ 753	+ 555	- 145	+ 94
110	+ 322	+ 212	+ 83	- 128	+ 122
115	- 396	- 433	- 465	- 128	+ 129
116,1	- 423	- 454	- 480	- 128	+ 129
120	- 34	- 80	- 131	- 128	+ 129
125	+ 756	+ 699	+ 622	- 128	+ 129
127,7	+ 897	+ 841	+ 764	- 128	+ 129
130	+ 800	+ 767	+ 716	- 128	+ 129
135	+ 181	+ 188	+ 191	- 128	+ 129
140	- 182	- 173	- 159	- 128	+ 129
145	+ 119	+ 64	0	- 128	+ 129
150	+ 629	+ 508	+ 364	- 128	+ 129
152,2	+ 726	+ 602	+ 152	- 128	+ 129
155	+ 627	+ 520	+ 391	- 128	+ 129
160	+ 65	+ 45	+ 22	- 128	+ 129
164,3	- 239	- 203	- 160	- 110	- 110

Секуларне промене распореда сунчеве топлоте по површини Земље.
Северна хемисфера

X ₁₈₀₀ no X _p	Летња полуогодина							Зимска полуогодина						
	25°	35°	45°	55°	65°	75°	25°	35°	45°	55°	65°	75°	25°	35°
165	-231	-192	-144	-90	24	58	+ 210	+ 180	+ 146	+ 112	+ 84	+ 61	-	-
170	+293	+299	+299	+297	+303	+320	- 334	- 322	- 295	- 253	- 185	- 86	-	-
175	+947	+878	+782	+668	+544	+409	- 972	- 892	- 780	- 641	- 471	- 265	-	-
176,3	+978	+895	+886	+654	+508	+343	-	- 990	- 902	- 785	- 640	- 471	- 271	-
180	+641	+561	+460	+343	+204	+41	+ 618	- 549	- 462	- 368	- 272	- 174	-	-
185	-307	-326	-340	-353	-382	-105	+ 365	+ 358	+ 334	+ 290	+ 211	+ 92	-	-
187,5	-506	-512	-511	-505	-513	-536	+ 573	+ 550	+ 505	+ 432	+ 316	+ 149	-	-
190	-342	-370	-394	-416	-460	-525	+ 416	+ 411	+ 387	+ 337	+ 246	+ 104	-	-
195	+664	+541	+395	+225	+16	-240	- 592	- 501	- 402	- 302	- 225	- 172	-	-
198,5	+1055	+916	+742	+541	+301	+16	- 1009	- 890	- 747	- 591	- 438	- 284	-	-
200	+993	+869	+714	+531	+316	+62	- 957	- 849	- 717	- 570	- 421	- 269	-	-
205	+103	+110	+117	+122	+134	+152	+ 124	- 122	- 115	- 99	- 73	- 28	-	-
209,6	-429	-338	-231	-106	+48	+238	+ 368	+ 304	+ 236	+ 171	+ 128	+ 110	-	-
210	-419	-329	-217	-92	+66	+261	+ 355	+ 292	+ 223	+ 161	+ 121	+ 106	-	-
215	+188	+221	+255	+291	+346	+423	- 451	- 257	- 249	- 222	- 162	- 60	-	-
220	+1018	+925	+805	+662	+500	+317	- 1024	- 929	- 805	- 655	- 482	- 281	-	-

220,8	+1017	+913	+355	+227	+80	-105	-333	-385	-311	-234	-165	-465	-279	-
225	+463	-350	-411	-472	-537	-636	-776	+ 465	+ 476	+ 461	+ 412	+ 299	+ 113	-
230	-	-	-	-428	-479	-534	-621	-745	+ 483	+ 489	+ 469	+ 416	+ 303	+ 119
232,4	-374	-	-	-156	-232	-315	-430	-583	+ 182	+ 210	+ 223	+ 212	+ 152	+ 37
235	-87	-	-	-580	+476	+350	+205	+27	-191	-521	-442	-355	-269	-151
240	+580	+685	+601	+494	+370	+224	+370	+224	+51	-662	-588	-497	-395	-186
242,2	+619	+562	+488	+400	+300	+186	+300	+186	-662	-564	-488	-397	-292	-171
245	+291	+317	+340	+362	+404	+465	+404	+465	-357	-354	-333	-292	-213	-89
250	+111	+134	+157	+182	+218	+270	+182	+218	-152	-157	-153	-138	-100	-36
255	+99	+111	+123	+134	+134	+152	+134	+152	-180	-125	-126	-120	-106	-31
256,5	+141	+121	+95	+66	+31	-31	-31	-31	-111	-133	-116	-96	-75	-38
260	+332	+270	+196	+110	+110	+3	-110	-110	-296	-250	-200	-150	-111	-86
265	+547	+438	+309	+160	+23	-242	-242	-245	-277	-314	-400	-316	-234	-141
270,7	+563	+452	+319	+166	+166	-23	-23	-256	-493	-413	-325	-242	-180	-145
275	+368	+266	+148	+13	-159	-373	-373	-287	-221	-35	+ 215	+ 212	+ 198	+ 7
280	-147	-182	-218	-255	-312	-390	-390	-207	-207	-35	+ 215	+ 212	-100	-90
281,8	-214	-230	-242	-245	-277	-314	-277	-314	-258	+ 254	+ 238	+ 198	+ 139	+ 49
285	-18	-27	-39	-50	-68	-90	-90	-90	-32	+ 37	+ 37	+ 25	+ 25	-208
290	+743	+695	+629	+548	+463	+371	+371	-772	-711	-626	-518	-380	-380	-208
292,7	+922	+867	+789	+695	+596	+493	+493	-963	-890	-785	-651	-478	-478	-259
295	+806	+771	+717	+650	+585	+523	+523	-857	-800	-712	-595	-436	-436	-229
300	+5	+38	+74	+114	+169	+241	+241	-46	-46	-61	-70	-70	-51	-7
303,1	-307	-278	-240	-196	-145	-88	-88	-308	-278	-240	-195	-144	-144	+ 85
305	-242	-247	-249	-249	-256	-272	-272	-276	+ 267	+ 245	+ 211	+ 154	+ 154	+ 72
310	+506	+383	+240	+76	-132	-389	-389	-416	-333	-248	-173	-130	-130	-126
313,4	+790	+646	+471	+271	+23	-279	-279	-706	-598	-479	-362	-269	-269	-205
315	+712	+577	+414	+228	-3	-286	-286	-630	-531	-422	-316	-236	-236	-184
320	-8	-65	-127	-195	-127	-412	-412	-78	-104	-120	+ 120	+ 85	+ 85	+ 12

Таблица I. (продужење)

Секуларне промене распореда сунчеве топлоте на површини Земље.

Северна хемисфера

Летња полугодина

X₀X₀

Географска широта (северна)

	25°	35°	45°	55°	65°	75°	25°	35°	45°	55°	65°	75°
323,3	-212	-227	-240	-253	-278	-315	+255	+261	+236	+150	+64	
325	-113	-126	-140	-154	-176	-208	+143	+143	+137	+122	+88	+35
330	+108	+127	+145	+165	+194	+237	-143	-146	-142	-127	-92	-35
332,8	+718	+679	+623	+555	+485	+413	-755	-700	-619	-515	-378	-203
335	+607	+576	+530	+473	+416	+359	-640	-594	-527	-438	-321	-172
340	+77	+69	+59	+47	+34	+18	-76	-69	-59	-48	-35	-21
342,1	-16	-25	-35	-45	-61	-81	+29	+32	+54	+31	+23	+6
345	+120	+84	+41	-8	-70	-147	-90	-67	-44	-25	-20	-29
350	+524	+424	+301	+163	-10	-222	-462	-389	-307	-230	-172	-135
350,9	+544	+440	+315	+172	-6	-223	-481	-404	-320	-240	-179	-141
355	-287	+203	+107	-5	-145	-322	-219	-165	-113	-69	-54	-70
359,9	-66	-93	-121	-152	-198	-258	+107	+116	+117	+108	+79	+24
360	-67	-94	-122	-153	-197	-256	+107	+117	+118	+109	+79	+24
365	+337	+307	+268	+221	+169	+110	-340	-308	-268	-218	-161	-93
369,6	+707	+666	+666	+607	+537	+464	+387	-684	-604	-501	-368	-199
370	+707	+669	+669	+613	+545	+475	+404	-742	-689	-610	-506	-371

Зимска полугодина

	25°	35°	45°	55°	65°	75°	25°	35°	45°	55°	65°	75°
323,3	-212	-227	-240	-253	-278	-315	+255	+261	+236	+150	+64	
325	-113	-126	-140	-154	-176	-208	+143	+143	+137	+122	+88	+35
330	+108	+127	+145	+165	+194	+237	-143	-146	-142	-127	-92	-35
332,8	+718	+679	+623	+555	+485	+413	-755	-700	-619	-515	-378	-203
335	+607	+576	+530	+473	+416	+359	-640	-594	-527	-438	-321	-172
340	+77	+69	+59	+47	+34	+18	-76	-69	-59	-48	-35	-21
342,1	-16	-25	-35	-45	-61	-81	+29	+32	+54	+31	+23	+6
345	+120	+84	+41	-8	-70	-147	-90	-67	-44	-25	-20	-29
350	+524	+424	+301	+163	-10	-222	-462	-389	-307	-230	-172	-135
350,9	+544	+440	+315	+172	-6	-223	-481	-404	-320	-240	-179	-141
355	-287	+203	+107	-5	-145	-322	-219	-165	-113	-69	-54	-70
359,9	-66	-93	-121	-152	-198	-258	+107	+116	+117	+108	+79	+24
360	-67	-94	-122	-153	-197	-256	+107	+117	+118	+109	+79	+24
365	+337	+307	+268	+221	+169	+110	-340	-308	-268	-218	-161	-93
369,6	+707	+666	+666	+607	+537	+464	+387	-684	-604	-501	-368	-199
370	+707	+669	+669	+613	+545	+475	+404	-742	-689	-610	-506	-371

M. Миланковић.

Астрономска теорија секуларних варијација климе

79

Таблица 1. (продужење)

Секуларне промене распореда сунчеве топлоте по површини Земље
Северна Европа

Северна хемисфера

Летња полуогодина

310000-52512

Географска широта (северна)

		Летња полуогодина							Зимска полуогодина																
		Географска широта (северна)																							
		25°	35°	45°	55°	65°	75°	25°	35°	45°	55°	65°	75°	25°	35°	45°	55°	65°	75°						
X	NPB 1800 m to X	470	+ 331	+ 271	+ 198	+ 113	+ 11	- 116	- 296	- 251	- 201	- 151	- 113	- 86	-	-	-	-	-						
X	NHNPB 1800 m to X	475	- 464	- 467	- 462	- 452	- 454	- 469	- 522	- 499	- 557	- 390	- 284	- 136	-	-	-	-	-						
X	NHNPB 1800 m to X	475,6	- 474	- 478	- 473	- 462	- 464	- 480	- 534	- 511	- 466	- 398	- 291	- 139	-	-	-	-	-						
X	NHNPB 1800 m to X	480	+ 80	+ 17	-	- 134	- 240	- 377	- 12	+ 21	+ 47	+ 61	+ 42	- 12	-	-	-	-	-						
X	NHNPB 1800 m to X	485	+ 908	+ 784	+ 632	+ 454	+ 242	- 10	- 864	- 760	- 636	- 501	- 371	- 243	-	-	-	-	-						
X	NHNPB 1800 m to X	486,1	+ 910	+ 794	+ 649	+ 479	+ 278	+ 39	- 874	- 774	- 652	- 517	- 383	- 246	-	-	-	-	-						
X	NHNPB 1800 m to X	490	+ 533	+ 476	+ 404	+ 318	+ 220	+ 105	- 526	- 472	- 404	- 326	- 241	- 146	-	-	-	-	-						
X	NHNPB 1800 m to X	495	- 75	- 47	- 13	+ 23	+ 72	- 133	+ 49	+ 32	+ 16	+ 5	+ 4	+ 17	-	-	-	-	-						
X	NHNPB 1800 m to X	497,1	- 102	- 67	- 27	+ 18	+ 77	+ 151	+ 71	+ 50	+ 30	+ 15	+ 12	+ 24	-	-	-	-	-						
X	NHNPB 1800 m to X	500	+ 85	+ 108	+ 130	+ 154	+ 190	+ 238	- 122	- 128	- 126	- 115	- 83	- 29	-	-	-	-	-						
X	NHNPB 1800 m to X	505	+ 504	+ 469	+ 421	+ 364	+ 302	+ 236	- 521	- 478	- 420	- 347	- 254	- 142	-	-	-	-	-						
X	NHNPB 1800 m to X	508,2	+ 645	+ 476	+ 390	+ 289	+ 170	+ 29	- 524	- 464	- 392	- 311	- 230	- 147	-	-	-	-	-						
X	NHNPB 1800 m to X	510	+ 472	+ 393	+ 297	+ 187	+ 51	- 113	- 431	- 370	- 301	- 232	- 171	- 124	-	-	-	-	-						
X	NHNPB 1800 m to X	515	+ 284	+ 195	+ 93	-	- 23	- 171	- 358	- 210	- 154	- 100	- 57	- 45	- 67	-	-	-	-						
X	NHNPB 1800 m to X	520	+ 207	+ 137	+ 57	-	- 35	- 151	- 300	- 146	- 103	- 62	- 30	- 25	- 48	-	-	-	-						
X	NHNPB 1800 m to X	525	+ 69	+ 27	-	- 21	- 75	- 15	- 238	- 147	- 26	- 3	+ 17	+ 19	+ 28	-	-	-	-						

Астрономска теорија секуларних варијација климе

Таблица 1.
Секуларне промене распореда сунчеве топлоте по површини Земље.
Јужна хемисфера

		Летња полуодина							Зимска полуодина						
		Географска широта (јужна)													
		25°	35°	45°	55°	65°	75°	25°	35°	45°	55°	65°	75°		
0,6	+ 10	+ 13	+ 15	+ 18	+ 24	+ 31	- 15	- 15	- 15	- 15	- 13	- 11	- 4		
5	- 188	- 137	- 77	- 9	+ 78	+ 185	+ 148	+ 114	+ 81	+ 52	+ 40	+ 46			
10	- 579	- 477	- 354	- 211	- 37	+ 176	+ 522	+ 444	+ 359	+ 272	+ 203	+ 151			
15	- 603	- 505	- 384	- 246	- 77	+ 128	+ 553	+ 477	+ 389	+ 300	+ 222	+ 159			
20	- 76	- 436	- 373	- 296	- 208	- 100	+ 27	+ 410	+ 359	+ 299	+ 235	+ 173	+ 117		
22,1	- 73	- 116	- 157	- 201	- 265	- 352	+ 132	+ 147	+ 151	+ 141	+ 102	+ 29			
25	- 224	- 294	- 366	- 444	- 558	- 712	+ 334	+ 356	+ 356	+ 324	+ 235	+ 77			
30	- 631	- 649	- 657	- 659	- 685	- 735	+ 726	+ 702	+ 648	+ 556	+ 407	+ 187			
32,7	- 648	- 653	- 645	- 632	- 633	- 654	+ 729	+ 698	+ 638	+ 545	+ 397	+ 190			
35	- 582	- 582	- 572	- 555	- 552	- 563	+ 650	+ 620	+ 565	+ 481	+ 352	+ 170			
40	- 294	- 281	- 262	- 237	- 216	- 194	+ 313	+ 292	+ 260	+ 217	+ 160	+ 84			
45	- 64	- 10	+ 51	+ 119	+ 210	+ 328	+ 6	- 23	- 45	- 55	- 39	+ 10			
47,1	- 50	0	+ 55	+ 118	+ 201	+ 309	- 5	- 31	- 50	- 59	- 41	+ 6			
50	- 90	- 40	+ 15	+ 78	+ 161	+ 267	+ 40	+ 13	- 11	- 25	- 17	+ 17			
55	- 361	- 329	- 286	- 237	- 181	- 117	+ 364	+ 331	+ 286	+ 234	+ 172	+ 100			

553	- 620	- 569	- 508	- 447	- 385	+ 688	+ 639	+ 566	+ 471	+ 346	+ 285				
60,6	- 669	- 636	- 587	- 527	- 467	- 407	+ 707	+ 657	+ 583	+ 487	+ 357	+ 190			
65	- 509	- 516	- 510	- 516	- 519	- 545	+ 578	+ 555	+ 509	+ 436	+ 318	+ 150			
70	+ 14	- 61	- 142	- 232	- 356	- 517	+ 75	+ 111	+ 133	+ 137	+ 98	+ 9			
71,9	+ 113	+ 31	- 61	- 163	- 299	- 475	- 27	+ 17	+ 53	+ 70	+ 49	- 19			
75	- 37	90	- 150	- 215	- 305	- 424	+ 107	+ 130	+ 144	+ 139	+ 99	+ 20			
80	- 744	- 692	- 620	- 535	- 443	- 343	+ 767	+ 705	+ 618	+ 509	+ 375	+ 208			
82,8	- 924	- 833	- 714	- 575	- 415	- 232	+ 920	+ 830	+ 715	+ 579	+ 427	+ 254			
85	- 804	- 707	- 584	- 441	- 272	- 83	+ 779	+ 693	+ 587	+ 469	+ 345	+ 228			
90	+ 46	+ 88	+ 133	+ 183	+ 250	+ 342	- 102	- 119	- 128	- 122	- 87	- 20			
94	+ 443	+ 449	+ 446	+ 441	+ 447	+ 468	- 501	- 482	- 440	- 377	- 276	- 130			
95	+ 421	+ 430	+ 430	+ 429	+ 439	+ 465	- 481	- 463	- 425	- 365	- 266	- 125			
100	- 371	- 347	- 312	- 272	- 228	- 182	+ 384	+ 354	+ 311	+ 257	+ 189	+ 104			
105,1	- 1087	- 1059	- 1007	- 939	- 883	- 841	+ 1179	+ 1111	+ 998	+ 840	+ 615	+ 313			
110	- 504	- 536	- 561	- 585	- 634	- 712	+ 601	+ 591	+ 552	+ 480	+ 350	+ 153			
115	+ 228	+ 133	+ 23	- 101	- 262	- 467	- 138	- 83	- 32	+ 4	- 1	- 59			
116,1	+ 261	+ 164	- 73	- 235	- 441	- 174	- 115	- 62	- 21	- 19	- 19	- 59			
120	- 78	- 120	- 165	- 214	- 283	- 376	+ 138	+ 154	+ 159	+ 149	+ 107	+ 30			
125	- 720	- 637	- 530	- 406	- 260	- 88	+ 702	+ 626	+ 532	+ 426	+ 315	+ 195			
127,7	- 827	- 717	- 580	- 422	- 233	- 7	+ 790	+ 696	+ 584	+ 462	+ 342	+ 222			
130	- 700	- 589	- 454	- 297	- 109	+ 121	+ 647	+ 559	+ 459	+ 356	+ 264	+ 185			
135	- 127	- 92	- 49	- 2	+ 60	+ 135	+ 98	+ 75	+ 51	+ 33	+ 25	+ 31			
140	+ 164	+ 139	+ 111	+ 76	+ 36	- 13	- 154	- 134	- 111	- 87	- 65	- 44			
145	- 219	- 242	- 264	- 285	- 322	- 377	+ 272	+ 272	+ 259	+ 227	+ 165	+ 68			
150	- 767	- 754	- 726	- 687	- 645	- 841	+ 795	+ 719	+ 607	+ 445	+ 221				
152,2	- 850	- 824	- 778	- 720	- 669	- 625	+ 916	+ 861	+ 772	+ 649	+ 475	+ 243			
155	- 733	- 710	- 671	- 620	- 575	- 537	+ 790	+ 742	+ 665	+ 559	+ 409	+ 210			
160	- 97	- 101	- 104	- 106	- 113	- 124	+ 113	+ 110	+ 102	+ 88	+ 65	+ 29			
164,3	+ 267	+ 255	+ 212	+ 188	+ 164	+ 164	- 283	- 263	- 234	- 195	- 143	- 76			

Таблица I. (продужење)
Секуларне промене распореда сунчеве топлоте по површини Земље.
Јужна хемисфера

Летња полугодина		Зимска полугодина		Географска широта (јужна)										
		25°	35°	45°	55°	65°	75°	25°	35°	45°	55°	65°	75°	
XINPABAEI	ROANHAI	165	+ 269	+ 246	+ 226	+ 210	+ 196	- 290	- 272	- 244	- 204	- 150	- 77	
ME 1800 no Xp		170	- 217	- 163	- 99	- 27	+ 65	+ 180	+ 176	+ 140	+ 103	+ 71	+ 54	
XINPABAEI	ROANHAI	175	- 901	- 794	- 660	- 502	- 318	- 101	+ 876	+ 780	+ 662	+ 529	+ 391	+ 245
ME 1800 no Xp		176,3	- 954	- 853	- 724	- 570	- 394	- 189	+ 942	+ 846	+ 725	+ 584	+ 431	+ 261
XINPABAEI	ROANHAI	180	- 685	- 639	- 574	- 497	- 514	- 325	+ 708	+ 651	+ 572	+ 472	+ 346	+ 192
ME 1800 no Xp		185	+ 197	+ 130	+ 52	- 35	- 148	+ 33	- 139	- 98	- 58	- 28	- 23	- 46
XINPABAEI	ROANHAI	187,5	+ 380	+ 288	+ 181	+ 57	- 99	- 292	- 313	- 250	- 187	- 130	- 98	- 95
ME 1800 no Xp		190	+ 206	+ 126	+ 34	- 70	- 204	- 375	- 132	- 85	- 41	- 9	- 10	- 46
XINPABAEI	ROANHAI	195	- 798	- 781	- 747	- 701	- 666	- 642	+ 870	+ 821	+ 740	+ 624	+ 457	+ 230
ME 1800 no Xp		198,5	- 1143	- 1072	- 972	- 851	- 725	- 590	+ 1189	+ 1098	+ 967	+ 801	+ 588	+ 322
XINPABAEI	ROANHAI	200	- 1061	- 989	- 890	- 771	- 642	- 504	+ 1097	+ 1009	+ 887	+ 732	+ 537	+ 297
ME 1800 no Xp		205	- 63	- 40	- 13	+ 18	+ 56	+ 106	+ 42	+ 28	+ 15	+ 5	+ 5	+ 15
XINPABAEI	ROANHAI	209,6	+ 541	+ 540	+ 527	+ 508	+ 500	+ 506	- 602	- 574	- 522	- 443	- 324	- 158
ME 1800 no Xp		210	+ 539	+ 541	+ 531	+ 516	+ 514	+ 525	- 603	- 576	- 525	- 447	- 327	- 158
XINPABAEI	ROANHAI	215	- 70	- 11	+ 55	+ 129	+ 226	+ 353	+ 7	- 25	- 49	- 60	- 42	+ 10,
ME 1800 no Xp		220	- 1006	- 905	- 775	- 620	- 444	- 241	+ 1000	+ 901	+ 775	+ 627	+ 462	+ 277

Астрономска теорија секуларних варијација клима

Секуларне промене распореда сунчеве топлоте на површини Земље.
Јужна хемисфера

Таблица I. (продужење)

	Летња полугодина							Зимска полугодина						
	Географска широта (јужна)							Географска широта (јужна)						
	25°	35°	45°	55°	65°	75°		25°	35°	45°	55°	65°	75°	
Xpae 081	+ 81	+ 26	- 8	- 37	- 118	- 221	- 87	- 57	- 30	- 10	- 10	- 10	- 10	- 30
323,3	+ 57	+ 26	- 9	- 46	- 98	- 162	- 27	- 9	+ 5	+ 14	+ 14	+ 10	+ 11	- 11
325	- 42	- 9	+ 27	+ 69	+ 124	- 195	+ 7	- 10	- 24	- 31	- 22	- 22	- 22	- 7
330,8	- 650	- 557	- 443	- 311	- 153	+ 37	+ 613	+ 536	+ 447	+ 351	+ 260	+ 217	+ 173	+ 146
332,8	- 547	- 468	- 370	- 257	- 122	+ 41	+ 514	+ 450	+ 373	+ 292	+ 173	+ 118	+ 118	+ 85
335	- 77	- 71	- 61	- 51	- 38	- 24	+ 78	+ 71	+ 61	+ 50	+ 37	+ 27	+ 21	+ 4
340	- 8	- 19	- 29	- 41	- 57	- 79	+ 21	+ 26	+ 28	+ 27	+ 19	+ 19	+ 19	+ 53
342,1	- 178	- 186	- 191	- 196	- 208	- 229	+ 208	+ 203	+ 188	+ 163	+ 118	+ 118	+ 118	+ 85
345	- 640	- 630	- 607	- 575	- 542	- 702	+ 665	+ 601	+ 508	+ 372	+ 372	+ 372	+ 372	+ 191
350,9	662	- 750	- 625	- 592	- 568	- 555	+ 725	+ 686	+ 619	+ 524	+ 383	+ 383	+ 383	+ 124
355	- 415	- 431	- 441	- 449	- 473	- 516	+ 483	+ 469	+ 435	+ 375	+ 274	+ 274	+ 274	+ 85
359,9	- 10	- 43	- 79	- 118	- 172	- 242	+ 51	+ 66	+ 75	+ 74	+ 53	+ 53	+ 53	+ 8
360	9	- 40	- 76	- 115	- 169	- 240	+ 49	+ 63	+ 72	+ 71	+ 51	+ 51	+ 51	+ 8
365	- 331	- 297	- 254	- 203	- 143	- 74	+ 328	+ 296	+ 254	+ 206	+ 151	+ 151	+ 151	+ 91
369,6	- 645	- 556	- 447	- 319	- 166	+ 15	+ 613	+ 538	+ 450	+ 355	+ 262	+ 262	+ 262	+ 173
370	- 641	- 551	- 439	- 309	- 153	+ 32	+ 606	+ 531	+ 442	+ 348	+ 257	+ 257	+ 257	+ 172

375	- 83	+ 116	+ 104	+ 98	+ 92	+ 86	- 378	- 366	- 362	- 368	+ 431	+ 411	+ 374	+ 64
379,7	- 94	- 91	+ 98	+ 98	+ 107	+ 107	- 670	- 643	- 628	- 628	+ 769	+ 731	+ 663	+ 64
380	- 84	+ 86	+ 86	+ 86	+ 80	- 80	- 689	- 689	- 670	- 649	+ 769	+ 733	+ 667	+ 62
385	- 386	- 386	- 386	- 386	- 386	- 386	- 674	- 650	- 650	- 642	+ 409	+ 408	+ 388	+ 51
389,6	- 694	- 694	- 694	- 694	- 690	- 690	- 674	- 674	- 650	- 483	- 483	- 483	- 483	+ 51
390	- 692	- 692	- 692	- 692	- 395	- 395	- 395	- 395	- 395	- 366	- 366	- 366	- 366	+ 51
395	- 328	- 363	- 363	- 363	- 287	- 287	- 192	- 240	- 295	- 366	- 462	- 231	- 243	+ 54
399,2	- 147	- 147	- 147	- 147	- 160	- 203	- 247	- 374	- 374	- 304	- 270	- 448	- 417	+ 54
400	- 162	- 162	- 162	- 162	- 422	- 403	- 403	- 394	- 333	- 262	- 180	- 85	- 434	+ 54
405	- 440	- 440	- 440	- 440	- 407,7	- 394	- 394	- 394	- 333	- 262	- 180	- 85	- 390	+ 54
410	- 348	- 287	- 287	- 287	- 348	- 213	- 213	- 213	- 333	- 223	- 105	- 314	- 268	+ 54
415	- 97	- 36	- 36	- 36	- 92	- 33	- 33	- 33	- 209	- 209	- 58	- 206	- 258	+ 54
415,5	- 92	- 33	- 33	- 33	- 237	- 154	- 154	- 154	- 209	- 209	- 106	- 536	- 481	+ 54
420	- 307	- 237	- 237	- 237	- 454	- 485	- 485	- 412	- 324	- 271	- 170	- 559	- 506	+ 54
424	- 556	- 505	- 438	- 359	- 359	- 359	- 359	- 332	- 387	- 467	- 467	- 296	- 301	+ 54
425	- 227	- 262	- 295	- 327	- 327	- 327	- 327	- 160	- 256	- 388	- 562	- 89	- 127	+ 54
430	- 444	- 903	- 870	- 809	- 733	- 661	- 591	- 591	- 591	- 496	- 924	- 857	- 758	+ 54
433,6	+ 7	- 73	- 73	- 73	- 175	- 175	- 175	- 411	- 589	- 103	- 142	- 166	- 166	+ 54
435	- 3	- 86	- 86	- 86	- 485	- 485	- 485	- 412	- 324	- 223	- 106	- 674	- 647	+ 54
440	- 593	- 602	- 601	- 595	- 607	- 607	- 607	- 607	- 607	- 638	- 638	- 902	- 804	+ 54
444	- 903	- 870	- 870	- 809	- 733	- 661	- 591	- 591	- 591	- 966	- 966	- 857	- 629	+ 54
445	- 881	- 833	- 762	- 675	- 675	- 675	- 675	- 675	- 675	- 587	- 496	- 857	- 758	+ 54
450	- 91	- 78	- 61	- 41	- 17	- 11	- 11	- 11	- 17	- 17	- 85	- 74	- 74	+ 54
454,8	- 428	- 428	- 419	- 406	- 406	- 406	- 406	- 406	- 406	- 408	- 408	- 477	- 477	- 258
455,	- 430	- 431	- 423	- 412	- 410	- 410	- 410	- 410	- 410	- 419	- 419	- 481	- 481	- 258
460	- 117	- 80	- 37	- 12	- 12	- 12	- 12	- 12	- 12	- 155	- 155	- 86	- 86	+ 27
465,4	- 441	- 408	- 363	- 310	- 253	- 253	- 253	- 253	- 253	- 188	- 188	- 452	- 452	+ 123
465,4	- 419	- 375	- 322	- 265	- 265	- 265	- 265	- 265	- 265	- 203	- 203	- 465	- 465	+ 126

Таблица I. (продужење)

Секуларне промене распореда сунчеве топлоте по површини Земље

Летња хемисфера

Зимска полугодина

Географска широта (јужна)							
Летња полугодина				Зимска полугодина			
25°	35°	45°	55°	65°	75°	25°	35°
470	-397	-387	-370	-347	-329	-316	+432
475	+356	+273	+178	+68	-72	-243	+407
475,6	+364	+280	+181	+68	-74	-250	-241
480	-206	-243	-278	-316	-374	-455	-247
485	-990	-932	-848	-746	-642	-532	+274
486,1	-978	-914	-825	-717	-604	-481	+1034
490	-547	-500	-438	-366	-284	-193	+1014
495	+123	+133	+141	+149	+164	+187	+934
497,1	+158	+169	+177	+184	+199	+223	+844
500	-17	+14	+50	+88	+142	+210	+822
505	-474	-415	-341	-256	-154	-34	+504
508,2	-583	-544	-490	-425	-356	-281	+438
510	-550	-531	-499	-461	-425	-395	+554
515	-422	-443	-457	-469	-501	-552	+496
520	-319	-339	-353	-367	-397	-444	+484
525	-151	-173	-193	-215	-249	-298	+197